

پتـرولوژی، سال هفتم، شماره بیست و ششم، تابستان ۱۳۹۵، صفحه ۴۴-۲۳  
تاریخ پذیرش: ۱۳۹۴/۰۹/۰۱ تاریخ دریافت: ۱۳۹۴/۰۲/۰۵

## ویژگی‌های ژئوشیمیایی و سنگ‌شناسی مجموعه آذرین نخیلاب، شمال باختر زاهدان

نجمه هدایتی، محمد بومری \* و حبیب بیابانگرد

گروه زمین‌شناسی، دانشکده علوم، دانشگاه سیستان و بلوچستان، زاهدان، ایران

### چکیده

مجموعه آذرین نخیلاب در ۱۴۵ کیلومتری شمال باختر زاهدان، و از دیدگاه زمین‌شناسی در مرز پهنه درزه سیستان و بلوک لوت واقع شده است. در این منطقه واحدهای سنگی از کرتاسه تا کواترنری بروزد داشته، بیشتر شامل سنگ‌های رسوبی و آذرین هستند. سنگ‌های آذرین نخیلاب به صورت بیرونی و درونی تشکیل شده‌اند. سنگ‌های آذرین بیرونی به شکل گدازه و آذآواری بوده، شامل بازالت، آندزی بازالت، آندزیت و ریولیت هستند و سنگ‌های آذرین درونی به شکل استوک و دایک بوده، شامل گابرو، دیوریت و گرانو دیوریت هستند. بافت این سنگ‌ها پورفیری و گرانولار است. کانی‌های اصلی این سنگ‌ها پلاژیوکلاز، پیروکسن، هورنبلند، بیوتیت و کوارتز و کانی‌های فرعی آنها آپاتیت، اسفن و مگنتیت هستند. در بخش مرکزی سنگ‌های نفوذی که بر اثر فرآیندهای درون‌زاد و بروز زاد دگرسان شدند، همراه با کانی‌زایی مس هستند. بررسی‌های ژئوشیمیایی در سنگ‌های آذرین دگرسان نشده نخیلاب نشان می‌دهد که آن‌ها جزو سری ماغماهای کالک‌آلکالن با ماهیت متاآلومینوس هستند. الگوی تغییرات عناصر خاکی نادر و کمیاب که به ترتیب نسبت به ترکیب مورب و کندربیت به هنجار شده‌اند، نشان می‌دهد که مقادیر LREE و HREE به ترتیب از مقادیر HESE و LILE بسیار بیشتر است. مقادیر بالاتر LREE به ترتیب در مقایسه با مقادیر HESE و HREE وجود آنمالی منفی در عناظر Zr و Ti و P و آنمالی مثبت در عناظر K، Rb و Sr بیانگر تشکیل سنگ‌های مورد مطالعه در محیطی مربوط به حاشیه فعال قاره‌ای است. بدنهای رسید این سنگ‌ها بر اثر فرایند هضم و تبلور تفریقی (AFC)، از یک مagma بازالتی که محصول ذوب بخشی یک پوسته اقیانوسی فرورونده و گوشتۀ روی آن بوده تشکیل شده‌اند.

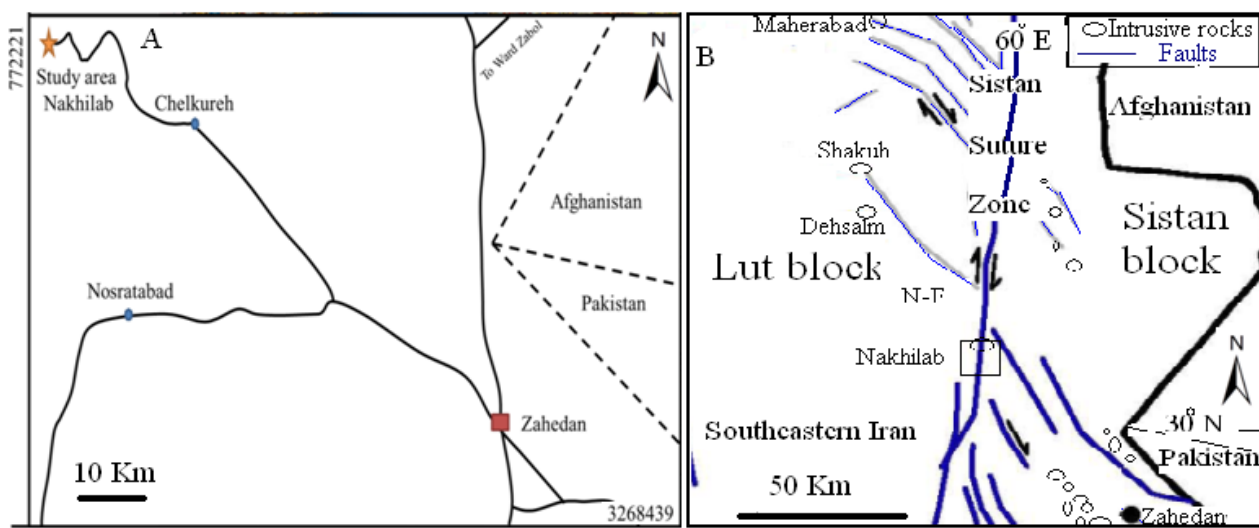
واژه‌های کلیدی: مس پورفیری، کالک‌آلکالن، فروزانش، مجموعه آذرین نخیلاب، زاهدان، پهنه درزه سیستان

تشکیل شده و شامل انواع سنگ‌های آذرین بیرونی و نیمه‌بیرونی با سن‌های مختلف هستند. این منطقه در مرز پهنه درزه سیستان و بلوک لوت واقع شده و بخشی از کوههای خاور ایران است (شکل ۱-۱).

مقدمه  
مجموعه آذرین نخیلاب در ۱۴۵ کیلومتری شمال باختر زاهدان واقع شده است (شکل ۱-۱). این مجموعه در امتداد نوار باریکی به صورت شمالی-جنوبی

\* boomeri@hamoon.usb.ac.ir

Copyright©2016, University of Isfahan. This is an Open Access article distributed under the terms of the Creative Commons Attribution License (<http://creativecommons.org/licenses/BY-NC-ND/4.0>), which permits others to download this work and share it with others as long as they credit it, but they cannot change it in any way or use it commercially.



شکل ۱-۱) جایگاه جغرافیایی مجموعه آذرین نخیلاب (شمال باختر زاهدان)؛ (B) نمایش گسل‌های در پهنه درزه سیستان.

آذرین تشکیل شده در بلوك لوت نیز شباهت دارد. در بلوك لوت فعالیت‌های ماقمایی از ژوراسیک میانی (سیمرین میانی)، به‌ویژه در نواحی ده‌سلم و چهار‌فرسخ، آغاز شده و گرانیتوییدهای معروفی مانند شاکوه جای گرفته‌اند (Aghanabati, 2004) (شکل ۱-۱B). بخش زیادی از بلوك لوت با سنگ‌های آتشفسانی کالک‌آلکالن که اوج آن در ائوسن بوده (با ضخامت ۲۰۰۰ تا ۳۰۰۰ متر) اشغال شده است (Berberian and King, 1981). همچنین، سنگ‌های آتشفسانی نئوژن و کواترنر در بلوك لوت که کم و بیش بازیک و بیشتر از نوع بازالتی هستند، بیشتر محدود به گسل‌های جوان هستند. در کرانه جنوبی گسل نایبند و گسل‌های شمالی - جنوبی دیگر، فوران‌های آلکالن نیز روی داده که بیشتر از نوع بازانیت و تفریت هستند (Emami, 2000). در بلوك لوت بیشتر سنگ‌های آذرین آتشفسانی و نیمه‌بیرونی ترسیری، به‌ویژه در Maherabad، ده‌سلم، رحیمی، چاه شلغمی و غیره، با کانی‌زایی مس پوروفیری همراه هستند (Malekzade Shafarodi and Karimpour, 2011).

پژوهش‌ها درباره مجموعه آذرین نخیلاب اندک است به‌گونه‌ای که تنها می‌توان به بررسی‌های Babakhani و همکاران (1988) و Hezareh (۲۰۰۴) برای تهیه نقشه‌های زمین‌شناسی و ژئوشیمی Yavari (۲۰۱۳) و

سنگ‌های آذرین در پهنه درزه سیستان متنوع بوده و شامل سنگ‌های فوق‌بازیک تا اسیدی در مجموعه‌های افیولیتی، سنگ‌های نفوذی مرتبط به پهنه گرانیتوییدی گراغه-سرawan، سنگ‌های آذرین بیرونی و نفوذی مرتبط به نوار ماقمایی زاهدان-نهیندان در مرز پهنه درزه با بلوك سیستان و سنگ‌های آتشفسانی مرتبط با کوه تفتان هستند (Camp and Griffis, 1982). سنگ‌های آذرین بیرونی و درونی دیگری از جمله مجموعه آذرین نخیلاب، نیز در این پهنه وجود دارد که به نظر نمی‌رسد با موارد گفته شده ارتباط داشته باشد. با توجه به مطالعات Griffis و Camp (1982)، مجموعه آذرین نخیلاب در حاشیه باختری پهنه درزه سیستان و مجاور با بلوك لوت در راستای گسل امتداد لغز نهیندان رخنمون دارد. سن مجموعه آذرین نخیلاب به کرتاسه-ائوسن و الیگوسن نسبت داده شده است (Babakhani et al., 1988). بر اساس مطالعات Yavari (۲۰۱۳)، گوسان‌های غنی از کانی‌زایی مس، وجود آنومالی‌هایی از کانی‌زایی طلا و انواع دگرسانی‌های هم‌مرکز پروپیلیتیک، آرژیلیک، سریسیتی و پتاسیک، نشانه‌هایی از رویداد یک سیستم مس پوروفیری در منطقه نخیلاب است. مجموعه آذرین نخیلاب از نظر سنی و سنگ‌شناسی و سبك کانی‌زایی به بعضی از سنگ‌های

### زمین‌شناسی منطقه

واحدهای سنگی مجموعه آذربین نخیلاب و اطراف آن بیشتر شامل سنگ‌های رسوبی و آذربین از ژوراسیک تا کواترنری هستند (Babakhani et al., 1988, A). سنگ‌های رسوبی بیشتر در قسمت خاوری مجموعه آذربین نخیلاب بروند دارند و شامل سنگ‌های رخساره فلیش، سنگ آهک غنی از نومولیت و نهشته‌های جوان هستند. این واحدهای رسوبی در خاور با افیولیت‌ها و فلیش‌های دگرگون شده کهن، و در باختر با واحدهای آذربین دارای مرز گسله هستند. مجموعه آذربین نخیلاب از نظر سنی متعلق به کرتاسه، ائوسن و الیگوسن است (Babakhani et al., 1988). بر این اساس، در مجموعه آذربین نخیلاب، کهن‌ترین واحد متعلق به کرتاسه است که با گدازه‌های آندزیتی و سنگ‌های آذراواری و سنگ‌های آهکی ائوسن پوشیده شده و یک طاقدیس را تشکیل داده است. در مرکز طاقدیس و مجموعه مورد مطالعه، یک توده دیوریتی و گرانودیوریتی در الیگوسن، موجب دگرسانی و کانی‌زایی مس و طلا شده است (شکل‌های ۲ و ۳).

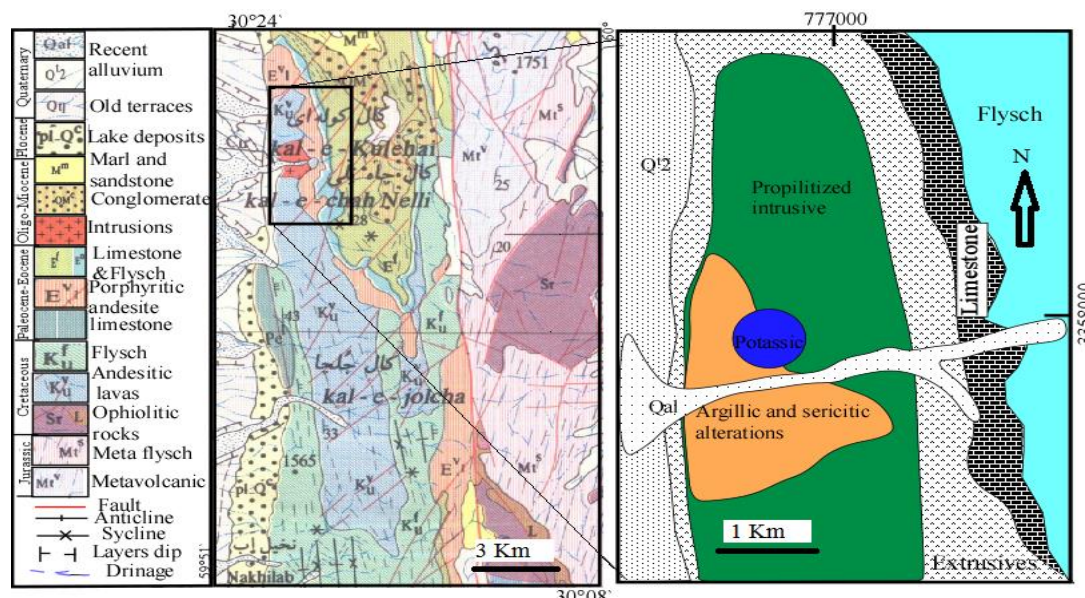
Hedayati (۱۹۸۰)، برای اکتشافات لیتوژئوشیمی طلا و

مس و مطالعات سنگ‌شناسی اشاره کرد.

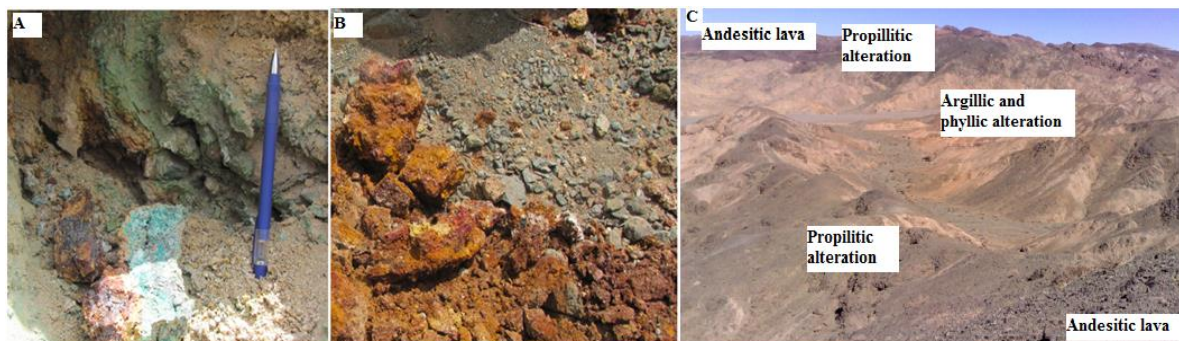
در این مقاله با استفاده از مطالعات صحرایی، میکروسکوپی، مقدار و رفتار عناصر اصلی و فرعی، نخست سنگ‌های آذربین شناسایی و تفکیک شده، سپس ویژگی‌های سنگ‌شناسی و ژئوشیمیایی آنها ارائه و بحث شده است.

یکی دیگر از اهداف این مقاله بررسی جایگاه زمین‌ساختی منطقه از لحاظ ژئوشیمیایی است. بنابراین شناخت و مطالعه مجموعه آذربین نخیلاب از دو جنبه مهم است: نخست به علت شناخت ماهیت سنگ‌شناسی و جایگاه زمین‌شناسی آن که موجب شناخت بهتر وضعیت مagmaتیسم در خاور ایران می‌شود. سپس به علت اهمیت استعداد کانی‌زایی توده نفوذی همراه با این مجموعه، زیرا که انگیزه اصلی تمرکز و توجه به آن است.

شناخت سنگنگاری و ژئوشیمی توده‌های کانسنگ‌ساز باعث افزایش شناخت فرآیندهای کانی‌زایی شده و احتمالاً از این نظر می‌توان تفاوت آنها را با توده‌های نفوذی نبارور فهمید.



شکل ۲- (A) بخشی از نقشه زمین‌شناسی ۱/۲۵۰۰۰۰ نخیلاب (شمال باختر زاهدان) که مجموعه آذربین نخیلاب در آن جای دارد (Babakhani et al., 1988)؛ (B) نقشه دگرسانی‌ها و سنگ‌های سالم مجموعه آذربین نخیلاب.



شکل ۳- گوسان با کانی‌زایی مس در مجموعه آذرین نخیلاب (شمال باختر زاهدان). A) همراهی کربنات مس و اکسید آهن؛ B) نمایش هیدرواکسیدهای آهن از نمایی نزدیک‌تر؛ C) در بخش مرکزی مجموعه آذرین نخیلاب، سنگ‌ها به سریسیت و کانی‌های رسی دگرسان شده و در پیرامون آن یک پهنه دگرسانی گسترده پروپیلیتی و در نهایت در حاشیه، سنگ‌های آندزیتی سالم دیده می‌شوند.

کلسیت و پیریت و رنگ سبز تشخیص داده می‌شود. وجود لکه‌های نوبلمانند اپیدوتی از ویژگی‌های رویداد این دگرسانی است (Hedayati, 2015). آثار دگرسانی پتاسیک نیز به مقدار اندکی در رخنمون‌ها دیده می‌شود (Hedayati, 2015). دگرسانی‌های برون‌زاد از انواع آرژیلیک و سریسیتیک هستند که در سنگ‌های غنی از پیریت در بخش مرکزی تشکیل شده، دارای رنگ سفید، قهوه‌ای و کرمی هستند (Hedayati, 2015). بر اساس این مطالعه به‌نظر می‌رسد که بخش بزرگی از سنگ‌های دگرسان شده متعلق به توده‌های نفوذی پورفیری نیمه‌زرف باشند. ناحیه نخیلاب در پهنه گسل نه باختری جای دارد (Babakhani *et al.*, 1988). در کرانه باختری پهنه درزه سیستان، چندین گسل با روند شمالی-جنوبی، با طول ۷۵۰ کیلومتر، به دنبال و به موازات هم دیده می‌شوند که مجموع آنها، سیستم گسلی نهندان نامیده می‌شوند (شکل ۱-B). در واقع این سیستم گسلی که جداگانه بلوک لوت از پهنه زمین درز سیستان است به دو گسل نه خاوری و نه باختری تفکیک شده است (Berberian, 1976). گسل نه باختری دارای امتداد N10W/76SW است. این گسل واحدهای افیولیتی کرتاسه را به میزان ۱۰ کیلومتر جابه‌جا نموده است. محدوده سنی عملکرد این گسل از زمان کرتاسه پسین به بعد است. حرکت این گسل

نقشه زمین‌شناسی و دگرسانی محدوده مطالعاتی بر اساس تصاویر ماهواره‌ای و گوگل ارث اصلاح و در شکل ۲ نمایش داده شده است. سنگ‌های آذرین بیرونی بیشتر آندزیت با رنگ قهوه‌ای هستند که در حاشیه خاوری طاقدیس گسترش بیشتری دارند. گسترش همه واحدهای آذرین تقریباً شمالی و جنوبی است. فنوکریست‌های پلاژیوکلاز در این سنگ‌ها با رنگ سفید در صحراء تشخیص داده می‌شود. سنگ‌های نفوذی در مرکز به شکل استوک و در حاشیه‌های جنوبی و شمالی به شکل دایک هستند (Hedayati, 2015). این سنگ‌ها دارای زنولیت‌هایی هستند که جنس و بافت آنها با سنگ میزبان تفاوت چندانی ندارند و تنها میزان کانی‌های تیره رنگ، بهویژه آمفیبول هستند (Hedayati, 2015). سنگ‌های نفوذی نادگرسان (یا سالم) رنگ خاکستری داشته و سنگ‌های دگرسان با توجه به نوع دگرسانی به رنگ‌های گوناگونی دیده می‌شوند. بافت سنگ‌های نفوذی از حاشیه به سمت مرکزی از پورفیری به گرانولار تغییر می‌کند هرچند حجم سنگ‌هایی که دارای بافت گرانولار هستند اندک است (Hedayati, 2015). دگرسانی‌ها در مجموعه نخیلاب به دو گروه درون‌زاد و برون‌زاد تقسیم‌بندی می‌شوند (Hedayati, 2015). دگرسانی اصلی درون‌زاد در این مجموعه دگرسانی پروپیلیتیک است که با اپیدوت، کلریت،

**۱- سنگ‌های آذربین بیرونی:** این سنگ‌ها دارای بافت پورفیری بوده، در حاشیه مجموعه آذربین نخیلاب دیده می‌شوند. در نمونه دستی این سنگ‌ها درشت‌بلورهای پلازیوکلاز به آسانی تشخیص داده می‌شوند، در حالی که زمینه آنها آفانیتیک است. بر اساس مطالعات سنگنگاری سنگ‌های آذربین بیرونی شامل بازالت، آندزی بازالت، آندزیت، ریولیت، ایگنیمبریت و توف آندزیتی هستند. از بافت‌های دیگر این سنگ‌ها بافت‌های هیالوپورفیری، جریانی و پرلیتی را می‌توان نام برد.

**۱- بازالتها:** این سنگ‌ها در نمونه دستی به رنگ خاکستری تیره و دارای ظاهری حفره‌دار هستند. در این منطقه، حجم سنگ‌های بازالتی به طور درخور توجهی کمتر از آندزیت‌ها و دیوریت‌های است. بازالتها در بخش جنوبی منطقه دیده می‌شوند. بافت این سنگ‌ها بیشتر پورفیری با زمینه ریزبلور است (شکل ۴-A). فنوکریست‌ها از نظر اندازه متفاوت هستند. فنوکریست‌های ریزتر بیشتر پلازیوکلاز هستند. الیوین و اکسیدهای آهن از دیگر فنوکریست‌های این سنگ‌ها به شمار می‌روند. بلورهای ریز در زمینه را نیز بیشتر تیغه‌های پلازیوکلاز به همراه کلینوپیروکسن تشکیل می‌دهند. حدود ۴۰ درصد حجمی سنگ از زمینه و بقیه از فنوکریست‌ها است. فنوکریست‌های کلینوپیروکسن‌ها بیشتر شکل‌دار، مقاطع عرضی آن بیشتر به صورت هشت‌گوش، دارای ساخت ساعت‌شنبی و ماکل تیغه‌ای بوده، اندازه آنها تا یک میلیمتر نیز می‌رسد. پلازیوکلازها، نیمه‌شکل‌دار و طویل و دارای ماکل پلی‌ستنتیک بوده، از نظر اندازه متغیر و حداقل تا یک میلیمتر هستند. کانی‌های ثانویه کلریت و اپیدوت و کانی‌های کدر نیز در مقاطع این سنگ دیده می‌شوند.

**۲- آندزی بازالت:** این واحد سنگی که در مجموعه آذربین نخیلاب، گسترش کمی دارد، در نمونه دستی دارای رنگ خاکستری بوده، بافت آن پورفیری

امتداد لغز راست‌گرد است (Yabelui, 2010). در محل این گسل‌ها نهشته‌های جدید تراورتن تشکیل شده که بیانگر ادامه فعالیت آنها در کواترنری است.

### روش انجام پژوهش

برای دستیابی به اهداف این پژوهش پس از چند مرحله بازدید صحراوی، تعداد ۴۵ نمونه از سنگ‌های آذربین نادگرسان و دگرسان برداشت شد، که از میان آنها ۳۳ نمونه‌ها مقطع نازک تهیه و با استفاده از میکروسکوپ پلاریزان بررسی شدند.

پس از بررسی سنگنگاری، ۱۴ نمونه از واحدهای سنگی گوناگون منطقه که دگرسان نشده و یا کم دگرسان شده بودند برگزیده شدن. برای ارزیابی اکسیدهای عناصر اصلی و عناصر فرعی خاکی نادر و کمیاب، با روش‌های ICP-MS و ICP-OES، این نمونه‌ها به شرکت آنالیز مواد معدنی زرآزمای ماهان در استان کرمان ارسال شدند. برای عناصر اصلی، ابتدا نمونه‌های پودر شده با لیتیومتابورات ذوب و سپس با اسید نیتریک حل شده و پس از رقیق‌سازی با دستگاه ICP-OES-735 (ساخت شرکت Varian کشور استرالیا)، مقدار اکسیدهای اصلی مشخص شد. برای عناصر خاکی نادر و کمیاب، اتحلال نمونه‌ها به روش مولتی‌اسید و هضم مایکروویو انجام شد و برای اندازه‌گیری آنها از دستگاه AJILEMT-ICP-MS (مدل 4500 ساخت آمریکا) استفاده شد.

نتایج این آنالیزها با استفاده از نرم‌افزارهای GCDKIT بررسی و نمودارهای لازم تهیه شده، سپس تفسیر و پردازش شدند.

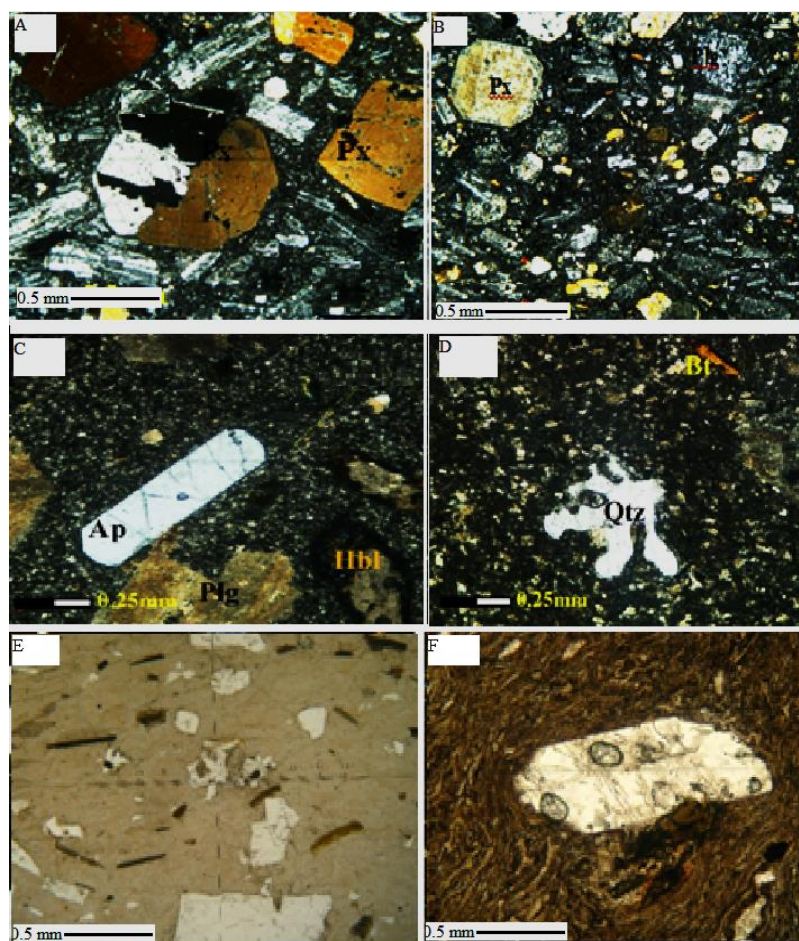
### سنگنگاری

بر اساس بررسی‌های صحراوی و سنجشناصی، سنگ‌های آذربین در نخیلاب را می‌توان به دو گروه عمده آذربین بیرونی (به صورت گدازه و آذرآواری) و آذربین درونی (به صورت استوک و دایک) تقسیم کرد:

پیروکسن، بیوتیت، کوارتز و هورنبلند هستند. کانی‌های فرعی در این سنگ بیشتر کانی‌ها کدر، زیرکن و آپاتیت هستند. این سنگ‌ها معمولاً با حضور فنوکریست‌های شکل دار تا نیمه‌شکل دار پلازیوکلاز ( $60\text{--}70$  درصد حجمی از فنوکریست‌ها)، درشت‌بلورهای شکل دار تا نیمه‌شکل دار بیوتیت (۵ درصد حجمی)، هورنبلند (۱۰ درصد حجمی) و درشت‌بلورهای بی‌شکل کوارتز شناسایی می‌شوند. بیشتر کانی‌های پلازیوکلاز دارای ماکل، خوردگی و منطقه‌بندی هستند. بالا آمدن سریع مagma و کاهش ناگهانی فشار در ویژگی‌های بافتی پلازیوکلازها، از جمله خوردگی و منطقه‌بندی نقش دارد (Nelson and Montana, 1992). پلازیوکلازها در بیشتر نمونه‌ها کم و بیش به کاولینیت دگرسان شده‌اند. درشت‌بلورهای بیوتیت و هورنبلند که بیشتر شکل دار تا نیمه‌شکل هستند تا حدی به کلسیت، کانی‌های کدر و کلریت تبدیل شده‌اند. آپاتیت به صورت شکل دار به عنوان کانی فرعی در این سنگ‌ها دیده می‌شود. آندزیت‌ها به دو صورت نادگرسان و دگرسان شده در منطقه وجود دارند. درصد دگرسانی در این سنگ‌ها متفاوت است. بر اساس نوع کانی فرومیزین موجود در این سنگ‌ها می‌توان آنها را به آندزیت‌های آمفیبول و بیوتیت‌دار تقسیم‌بندی کرد. پیریت که در نمونه دستی نیز تشخیص داده می‌شود فراوان‌ترین کانی کدر در آندزیت‌های دگرسان شده است. کوارتز یکی از کانی‌های نسبتاً رایج (حدود ۵ درصد حجمی)، به ویژه در زمینه این سنگ است. مقداری از کوارتزها ممکن است بر اثر عوامل ثانویه تشکیل شده باشند. شناسایی آندزیت‌ها از معادل‌های نفوذی نیمه‌ژرف که دارای بافت پورفیری هستند گاه دشوار بوده، به نظر می‌رسد مرز تدریجی بین این دو نوع سنگ وجود دارد. توف‌های آندزیتی بیشتر در حاشیه و مجاور سنگ‌های رسوبی دیده می‌شوند. تفاوت عمدی آندزیت و توف آندزیتی، وجود قطعات بیگانه از سنگ‌های رسوبی مجاور در توف است. این توف‌ها از نوع لیتیک تا کریستالین توف هستند.

است و درصد زمینه و فنوکریست‌ها در نمونه‌های مطالعه شده متفاوت است. درصد فنوکریست‌ها در این سنگ نسبت به بازالت‌ها بیشتر است. سنگ‌های آندزی بازالتی منطقه از لحاظ کانی‌شناسی شامل پلازیوکلاز، کلینوپیروکسن، هورنبلند و کانی‌های کدر هستند. پلازیوکلاز با شکل‌ها و اندازه‌های متفاوتی، هم به صورت فنوکریست و هم در زمینه فراوان‌ترین کانی (حدود ۷۰ درصد حجمی) است (شکل ۴-B). پلازیوکلازها بیشتر شکل دار، دارای ماکل پلی‌سنتیک و منطقه‌بندی هستند. آثار سریسیت و اپیدوت در بیشتر بلورهای این کانی دیده می‌شود. کلینوپیروکسن که به صورت شکل دار و نیمه‌شکل دار است، ۱۰ تا ۱۵ درصد حجم سنگ را به خود اختصاص داده است. درصد هورنبلند در این سنگ نسبت به بازالت شدیداً افزایش یافته است (۱۰ تا ۷ درصد حجمی). بیشتر درشت‌بلورهای کلینوپیروکسن و هورنبلند شکل دار هستند. ویژگی‌های نوری این کانی‌ها مانند رخ، ماکل و رنگ به خوبی مطالعه می‌شود. آمفیبول‌های اوپاسیتی در این سنگ وجود دارد. این کانی‌ها بیشتر به کلسیت، کلریت و اکسید آهن دگرسان شده‌اند. کانی‌های کدر در این سنگ بیشتر پیریت هستند. کوارتز نیز به صورت ثانویه در این سنگ تشکیل شده است.

**۱-۳- آندزیت و توف آندزیتی:** این گروه از سنگ‌های مجموعه آذرین نخیلاب، بیشترین گسترش و تنوع را نسبت به دیگر سنگ‌های آذرین بیرونی دارند و در نمونه دستی بیشتر به رنگ قهوه‌ای و خاکستری روشن تا متوسط دیده می‌شوند. بافت این سنگ‌ها بیشتر پورفیری است (شکل ۴-C). درصد زمینه در این سنگ‌ها در نمونه‌های گوناگون متفاوت است و غالباً بیشتر از ۵۰ درصد حجمی هستند. اندازه بلورهای زمینه نیز متفاوت است و ممکن است از نهان‌بلور، بسیار ریزبلور تا بلوری متغیر باشند. بلورهای یک کانی در آن ممکن است با توجه به اندازه دانه‌ها چندین نسل باشند. درشت‌بلورهای آن شامل پلازیوکلاز، آمفیبول، و گاهی



شکل ۴- تصاویر میکروسکوپی از سنگ‌های آذرین بیرونی در مجموعه آذرین نخیلاب (شمال باختر زاهدان). تصویرهای A، B، C و D در PPL (یا CPL) و تصویرهای E و F در PPL (یا CPL) هستند؛ (A) فنوکریست‌های کلینوپیروکسن با بیبرفرنژانس زرد و نارنجی در بازالت پورفیری مشخص هستند، زمینه از پلازیوکلازهای با اندازه‌های مختلف تشکیل شده است؛ (B) مقاطع شکل دار و هشت‌گوشه کلینوپیروکسن در آندزی بازالت؛ (C) آندزیت‌های باافت پورفیری که بعضی از آنها دارای آپاتیت هستند، پلازیوکلازها بر اثر دگرسانی حالت کدر دارند؛ (D) داسیت پورفیری با زمینه دانه‌ریز، خوردگی کوارتز در آن مشخص است؛ (E) پرلیت با زمینه‌ای شیشه‌ای و فنوکریست‌هایی از کوارتز؛ (F) ایگنیمیریت که پلازیوکلاز در زمینه‌ای جهت‌دار جای دارد.

مجموعه آذرین نخیلاب است. در زمینه آن نیز مقدار فراوانی کوارتز دانه‌ریز وجود دارد.

**۱-۵- ریولیت (پرلیت):** این سنگ دارای رنگ خاکستری تیره و بافت هیالوپورفیری است. فنوکریست‌های موجود در این سنگ پلازیوکلاز، کوارتز، بیوتیت و سانیدین هستند. پلازیوکلازها به صورت شکل دار تا نیمه‌شکل دار دیده می‌شوند. بیوتیت نیز به رنگ قهوه‌ای سوخته و به صورت شکل دار و نیمه‌شکل دار دیده می‌شود. زمینه این سنگ دارای بافت پرلیتی است

**۴-۱- داسیت:** این سنگ در ظاهر تفاوت چندانی با سنگ‌های دیگر مجموعه آذرین نخیلاب، به ویژه با آندزیت، ندارد چون بافت آن پورفیری و فراوان‌ترین کانی آن نیز پلازیوکلاز است (شکل ۴-۴). اما فنوکریست‌های کوارتز اولیه موجب تمایز داسیت از آندزیت می‌شود. کوارتز به علت نبود تعادل با ماگمای باقیمانده، **معمولًاً** گرد شده و دارای خوردگی و حاشیه‌های اتحالی است. شکل و اندازه کانی‌ها در داسیت و سبک دگرسانی آن مشابه با آندزیت‌های

حدود ۵ درصد این سنگ را تشکیل می دهند. کانی های ثانویه در گابرو بیشتر شامل کلریت، اپیدوت و کلسیت هستند.

**۲- دیوریت:** این دسته از سنگ های مجموعه آذرین نخیلاب در نمونه دستی به رنگ خاکستری تا سبز و با بافت بیشتر پورفیری دیده می شوند. دیوریت ها اصلی ترین و گسترده ترین سنگ های نفوذی در مجموعه آذرین نخیلاب هستند و ارتباط آن با گابرو، گرانودیوریت از نظر بافتی، تدریجی است. دیوریت از نظر کانی شناسی و بهویژه مقدار کانی های فرو منیزیم دار، تنوع زیادی نشان می دهد. حجم کمی از دیوریت ها نیز دارای بافت گرانولار هستند (شکل ۵-B). این دیوریت ها غنی از هورنبلند هستند. در دیوریت های پورفیری، درصد زمینه کمتر از ۴۰ درصد حجمی است. درشت بلورها در این سنگ بیشتر شکل دار تا نیمه شکل دار بوده، شامل پلاژیوکلاز نوع آندزین (۷۵-۶۰ درصد حجمی)، هورنبلند (۱۰-۱۵ درصد حجمی) بیوتیت (۳-۵ درصد حجمی) و کلینوپیروکسن هستند. مطالعات میکروسکوپی و صحرایی نشان می دهند که بخش بزرگی از این سنگ در بخش مرکزی مجموعه آذرین نخیلاب دچار دگرسانی شدید شده است به گونه ای که درشت بلورهای پلاژیوکلاز به اپیدوت، کلریت، سریسیت و کلسیت دگرسان شده اند. بلورهای پلاژیوکلازها معمولاً کشیده و باریک هستند. بلورهای آمفیبیول شکل دار و در مقاطع عرضی رخ های لوزی شکل آن به خوبی مشخص است. دیوریت ها نیز مانند آندزیت ها، هم از نظر درصد کانی های فرومیزین مانند کلینوپیروکسن، هورنبلند و بیوتیت و هم از نظر درصد حجمی زمینه تنوع نشان می دهنند. کانی های کدر (پیریت) و آپاتیت نیز به عنوان کانی های فرعی در این دسته از سنگ های مجموعه آذرین نخیلاب دیده می شوند. به نظر می رسد بیشتر دیوریت ها دارای زنولیت های کوچکی به شکل مدور بوده که کاملاً با اپیدوت جانشین شده اند.

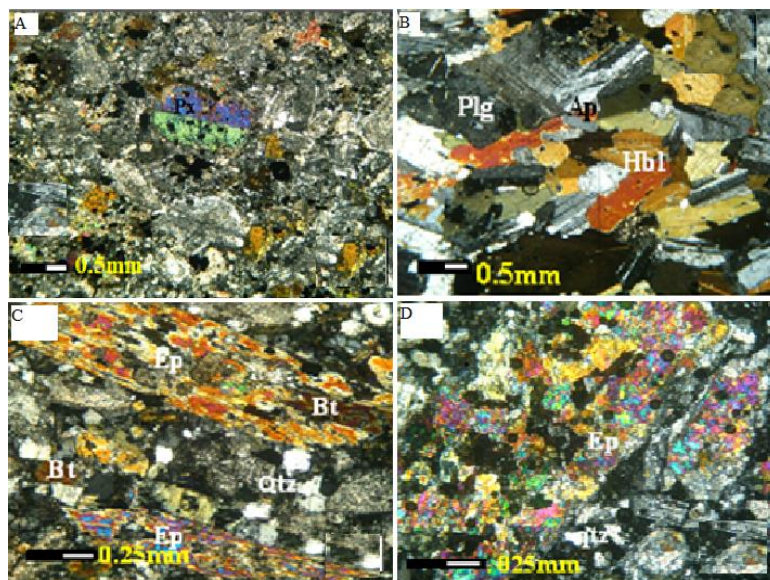
که بیشتر آن را شیشه تشکیل داده است (شکل ۴-E). وجود فنوکریست های با شکل بلورین منظم در ریولیت ها بیانگر آن است که قبل از جایگزینی پایانی ماقما، فنوکریست های مزبور از ماقما بی که به آهستگی سرد می شده تشکیل شده اند. در مرحله پایانی، سرد شدن سریع و انقباض شیشه بافت پرلیتی را ایجاد کرده است. بعضی از این سنگ ها احتمالاً ایگنیمبریت هستند (شکل ۴-F)، چون دارای بافت سودوفلوبیدال بوده، در زمینه آن شیشه های خرد شده، اکسیدشدنی و بیوتیت شعله ای یافت می شود (Hedayati, 2015).

**۲- سنگ های نفوذی:** سنگ های نفوذی در مجموعه آذرین نخیلاب بیشتر نیمه ژرف و بیشتر دارای بافت پورفیری هستند و شامل گابرو، دیوریت و گرانودیوریت می شوند. درصد زمینه و فنوکریست و اندازه دانه ها در توده های نفوذی مجموعه آذرین نخیلاب بسیار متنوع هستند. بیشتر این سنگ ها آذرین نیمه ژرف یا نیمه بیرونی (ساب و لکانیک یا شباهتشناسی) هستند.

**۱- گابرو:** گابرو در مجموعه آذرین نخیلاب گسترش کمی دارد. این واحد سنگی در نمونه دستی به رنگ تیره و دارای بافت گرانولار است. کانی های تشکیل دهنده آن بیشتر شامل پلاژیوکلاز، پیروکسن و هورنبلند هستند. پلاژیوکلاز ۶۵-۶۰ درصد حجمی کانی های سازنده سنگ را تشکیل و به صورت بی شکل تا نیمه شکل دار است (شکل ۵-A). حاشیه بیشتر پلاژیوکلازها کدر شده که شواهدی از جذب را نشان می دهد. در این سنگ کلینوپیروکسن به صورت شکل دار تا نیمه شکل دار در اندازه درشت تا متوسط بوده، برخی از بلورهای آن دارای ساخت ساعت شنی هستند (شکل ۵-A) و تقریباً ۱۵-۲۰ درصد حجمی کانی های سازنده آن را تشکیل می دهد. هورنبلند نیز به صورت بلورهای نیمه شکل دار، حدود ۱۰ درصد حجمی کانی های سازنده گابرو را به خود اختصاص داده است. کانی های کدر

فنوکریست‌های رایج در این سنگ است. این کانی نیز تا حدی به اپیدوت و کلسیت تجزیه شده است. در مقاطع این سنگ‌ها، بیوتیت با رنگ قهوه‌ای سوخته (در نور PPL) به مقدار اندک دیده می‌شود (شکل ۵-С). کوارتز هم به صورت فنوکریست و هم در زمینه درصد در خور توجهی دارد. کوارتز‌های زمینه احتمالاً به صورت ثانویه تشکیل شدند. کوارتز در زمینه به صورت دانه‌های کوچک هم اندازه با حاشیه‌های مضرس است. زنولیت‌های دیوریتی با لبه‌های نسبتاً گرد شده در گرانوودیوریت نیز وجود دارند. در مجموعه آذرین نخیلاب گرانوودیوریت‌ها نیز درجهاتی متفاوتی از دگرسانی و کانی‌زایی را نشان می‌دهند (شکل ۵-Д).

۲-۳- گرانوودیوریت: این سنگ‌ها در نمونه‌دستی بهرنگ خاکستری روشن تا تیره و سبز و دارای بافت پورفیری تا گرانولار هستند. تفاوت عمدی این سنگ با دیوریت وجود کوارتز در گرانوودیوریت است. کانی‌های اصلی موجود در این سنگ‌ها شامل پلازیوکلاز، هورنبلند، بیوتیت و کوارتز هستند. پلازیوکلازها اغلب طویل، شکل‌دار تا نیمه‌شکل‌دار و دارای ماکل پلی‌سنتیک بوده، اندازه بلورهای آن اغلب از یک میلیمتر کمتر است. پلازیوکلاز معمولاً به اپیدوت، کلسیت، سریسیت و کلریت دگرسان شده‌اند. هورنبلندها به صورت بلورهای کشیده و شکل‌دار بوده، طول آن‌ها گاه به ۲ میلیمتر می‌رسد و از



شکل ۵- تصاویر میکروسکوپی برگزیده از توده‌های نفوذی مجموعه آذرین نخیلاب (شمال باختر زاهدان) در نور XPL. (A) گابرو که دارای کلینوپیروکسن است؛ (B) دیوریت غنی از هورنبلند با بافت گرانولار؛ (C) گرانوودیوریت هورنبلندار که ذرات اپیدوت نیز در آن وجود دارد؛ (D) دگرسانی پروپیلیتیک که با تشکیل گستره‌ای اپیدوت در گرانوودیوریت همراه بوده است.

شده است. نمونه‌هایی که برای مطالعات ژئوشیمی تجزیه شده‌اند بیشتر نمونه‌های نادگرسان هستند و تنها برخی سنگ‌های نفوذی و یک نمونه از سنگ‌های آذرین بیرونی به مقدار اندک دگرسان شده هستند. در جدول ۱ همه آهن به صورت  $\text{Fe}_2\text{O}_3$  نشان داده شده است.

### ژئوشیمی

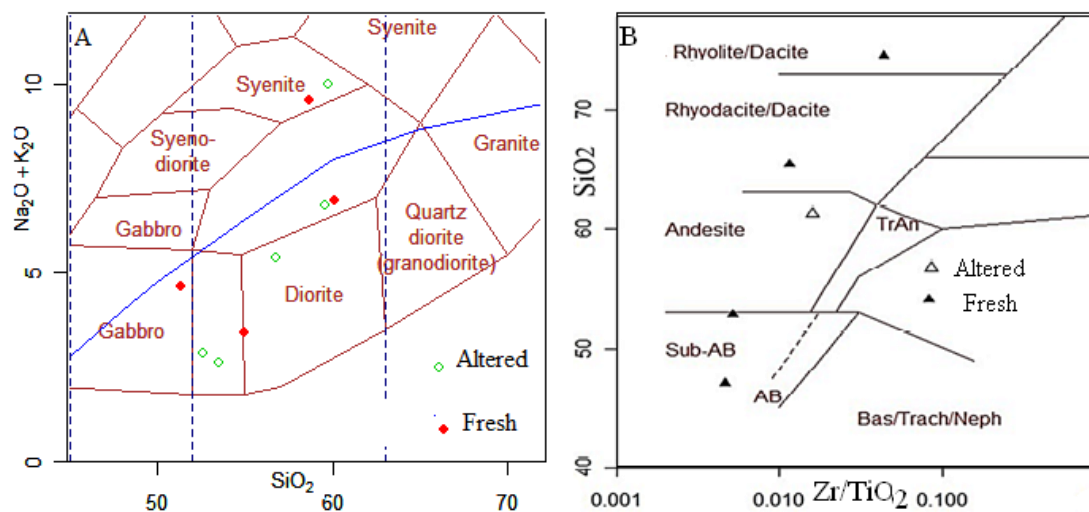
برای بررسی ویژگی‌های ژئوشیمیایی و سنگ‌شناسی مربوط به سنگ‌های آذرین مجموعه آذرین نخیلاب از داده‌های عناصر اصلی (بر اساس درصد وزنی یا wt%), عناصر فرعی و کمیاب (بر اساس ppm) استفاده شده که در جدول ۱ آورده

جدول ۱- نتایج آنالیز برخی نمونه‌های برگزیده از سنگ‌های آذرین منطقه نخیلاب (شمال باختر زاهدان) با روش‌های ICP-MS و ICP-OES

Sample No.	S3	S10	S19	S17	S13	S4	S8-3	S13	S15	S6	S8-2	S11	SN	SC
Rock Type	extrusive						intrusive							
SiO <sub>2</sub>	61.2	65.4	74.6	52.8	47.1	51.3	54.9	53.5	59.6	56.7	59.8	52.6	60.2	58.7
Al <sub>2</sub> O <sub>3</sub>	16.5	15.5	12.6	14.5	18.5	17.1	16	16.2	16.3	15.6	18.4	17	16.7	18.5
BaO	0.04	0.05	0.07	0.01	0.02	0.01	0.02	0.01	0.04	0.03	0.03	0.01	0.03	0.04
CaO	4.55	3.64	0.67	8.79	10.4	8.71	8.45	8.52	4.36	7.25	2.87	8.91	5.22	3.16
Fe <sub>2</sub> O <sub>3</sub>	4.6	2.94	1.95	10.1	9.18	8.99	9.16	9.34	6.62	7.1	4.51	9.64	5.54	4.93
K <sub>2</sub> O	2.51	1.82	3.11	0.53	1.02	1.18	1.08	0.53	2.93	1.56	1.62	0.65	2.36	1.84
MgO	1.99	1.44	0.3	8.42	6.4	4.82	4.58	4.57	3.26	3.61	2.03	5.34	2.51	2.31
MnO	0.13	0.08	0.02	0.18	0.18	0.17	0.18	0.21	0.07	0.18	0.09	0.21	0.14	0.1
Na <sub>2</sub> O	4.95	5.43	5.07	2.2	3.05	3.46	2.34	2.08	3.86	3.85	8.36	2.23	4.55	7.75
P <sub>2</sub> O <sub>5</sub>	0.22	0.16	0.05	0.16	0.16	0.22	0.23	0.21	0.22	0.19	0.29	0.17	0.23	0.3
SO <sub>3</sub>	0.05	0.95	0.09	0.24	0.05	0.05	0.05	0.11	0.09	0.13	0.05	0.05	0.05	0.09
TiO <sub>2</sub>	0.39	0.34	0.32	0.74	0.95	0.88	0.78	0.75	0.56	0.68	0.52	0.76	0.5	0.52
Cr <sub>2</sub> O <sub>3</sub>	0.01	0.01	0.01	0.05	0.01	0.01	0.01	0.01	0.01	0.01	0.01	0.01	0.01	0.01
LOI	2.76	3.11	1.07	1.52	2.93	2.93	2.19	3.98	2.19	2.85	1.36	2.31	1.97	1.8
Total	99.9	101	99.9	100	99.9	99.9	100	100	100	99.8	100	99.8	100	100
Ba	300	435	548	119	310	141	271	111	312	270	215	288	271	353
Cd	0.62	0.23	1.35	0.24	0.38	0.5	0.29	0.44	0.16	0.32	0.54	0.31	0.24	0.57
Ce	33	36	40	20	17	31	36	35	35	41	29	27	38	32
Co	11.1	6	1.8	17.9	31.8	26.8	17.4	14.6	9.2	16.2	10.9	18.8	14	11.9
Cr	54	54	21	604	98	46	120	92	65	62	29	112	45	37
Cs	2.1	1.8	1.8	2.3	1.8	2.7	4.9	2.5	6.1	1	1.3	9.1	2.2	1.2
Cu	269	195	241	511	192	412	200	300	82	1419	73	545	168	399
Dy	2.48	1.88	4.03	2.69	3.95	3.71	3.65	3	3.12	3.62	1.94	3	2.78	2.22
Er	2.13	1.33	4.17	2.24	3.45	3.05	2.8	2.33	2.49	2.95	1.45	2.32	2.04	1.58
Eu	1.01	0.87	0.7	1.06	1.29	1.44	1.21	1.25	1.11	1.31	1.02	1.07	1.04	1.09
Gd	2.79	2.14	3.54	2.84	3.73	4.16	3.72	3.41	3.49	3.91	2.48	3.1	3.05	2.69
Hf	2.24	1.47	4.99	1.24	1.59	1.92	0.84	1.82	1.03	1.46	2.12	1.6	1.45	2.19
In	0.5	0.5	0.5	0.5	0.5	0.5	0.5	0.5	0.5	0.5	0.5	0.5	0.5	0.5
La	17	19	21	8	7	13	17	16	17	20	15	13	18	15
Li	21	17	23	16	24	25	15	22	41	23	10	42	17	14
Lu	0.27	0.24	0.45	0.27	0.34	0.3	0.3	0.27	0.27	0.29	0.23	0.25	0.27	0.24
Mo	0.81	1.42	1.21	1.2	0.58	0.86	1.15	1.07	0.8	0.74	0.52	1.38	0.99	0.58
Nb	9.2	8.3	14.4	6.1	3.6	5.3	8.7	7.5	6.5	8.5	10.7	7.7	8.3	11.1
Nd	15.2	14.1	17.4	12.5	12.2	18.8	18.5	17.6	17.7	20.2	14.1	14.2	17.3	15.3
Ni	7	4	4	144	22	13	17	19	9	23	8	20	7	11
Pb	33	18	32	31	14	39	18	28	8	79	11	31	24	26
Pr	4.64	4.74	5.61	3.62	3.44	4.97	5.18	5.11	5.24	5.88	4.46	4.26	5.29	4.65
Rb	59	34	78	20	17	23	32	17	76	35	28	17	52	34
Sb	0.5	0.7	0.6	0.8	0.5	0.7	0.9	2.4	0.5	1.7	0.5	1.5	0.5	0.6
Sc	8.7	7.5	7.7	38.1	65.8	46.7	36.5	30.7	21.1	28.5	13.3	37	15.2	13.8
Se	1.4	1.25	1.18	1.26	1.32	1.46	1.16	1.24	1.25	1.32	1.14	1.2	1.23	1.22
Sm	3.27	2.77	4	3.06	3.83	4.5	4.51	4.21	4.02	4.52	2.95	3.42	3.92	3.26
Sn	3.2	1.9	3.3	5.3	2	3.7	2.7	3.8	2.6	10	1.3	5.2	2.3	4.3
Sr	670	441	291	411	609	835	535	518	613	345	602	511	654	623
Ta	0.81	0.79	0.81	0.69	0.77	0.84	0.89	0.75	0.7	0.83	0.85	0.86	0.83	1
Tb	0.5	0.42	0.71	0.55	0.7	0.69	0.68	0.59	0.6	0.69	0.46	0.57	0.57	0.49
Te	0.42	0.17	0.1	0.37	0.19	0.19	0.14	0.53	0.16	0.31	0.1	0.44	0.14	0.14
Th	4.03	4.05	15.4	2.08	0.89	1.92	4.43	2.86	4.07	4.29	2.09	2.63	4.05	2.22
Tl	0.23	0.31	0.42	0.25	0.15	0.18	0.22	0.21	0.53	0.26	0.23	0.24	0.25	0.27
Tm	0.34	0.31	0.83	0.44	0.55	0.47	0.53	0.46	0.47	0.48	0.28	0.42	0.39	0.3
U	1.5	1.4	3.1	0.8	0.6	0.8	1.2	1.1	1.6	1.3	1	0.9	1.5	1.1
V	135	86	26	212	335	299	226	229	166	205	140	245	144	144
Y	20.2	19	41.6	25.4	34.1	27.3	32.9	27.5	29.8	28.2	19.9	26.7	26.4	19.9
Yb	1.7	1.3	3.7	1.9	2.7	2.3	2.4	2	2	2.2	1.3	1.8	1.9	1.4
Zr	62	39	140	38	44	48	22	52	23	35	68	45	37	69

است. ترکیب شیمیایی سنگ‌های آذرین بیرونی که بیشترشان نادگرسان هستند از بازالت تا ریولیت متغیر است (شکل ۶-۶). بنابراین ترکیب شیمیایی سنگ‌های آذرین نخیلاب در محدوده بازیک، حد واسط تا اسیدی جای دارند. بر اساس مطالعات صحرایی و سنگ‌نگاری سنگ‌های مجموعه آذرین نخیلاب بیشتر دارای ترکیب حد واسط و در حد دیوریت یا آندزیت و گرانودیوریت و به مقدار اندک گابرو هستند.

نمونه‌ها طوری برگزیده شدند که از هر نوع سنگ، دست کم یک نمونه تجزیه شود و گزینش آنها ربطی به فراوانی سنگ‌ها در صحراء ندارد. بر اساس ژئوشیمی عناصر اصلی سنگ‌های آذرین نفوذی در مجموعه آذرین نخیلاب دارای ترکیب شیمیایی گابرو، دیوریت و سینیت هستند (شکل ۶-۶-A). هم سنگ‌های نادگرسان شده و هم دگرسان شده محدوده تقریباً یکسانی را نشان می‌دهند بنابراین نقش دگرسانی روی نام سنگ‌ها ناچیز



شکل ۶- طبقه‌بندی شیمیایی سنگ‌های آذرین نخیلاب (شمال باخرز زاهدان). (A) جایگاه سنگ‌های نفوذی در نمودار Cox و همکاران (۱۹۷۹); (B) جایگاه سنگ‌های آذرین بیرونی در نمودار Floyed و Winchester (۱۹۷۷).

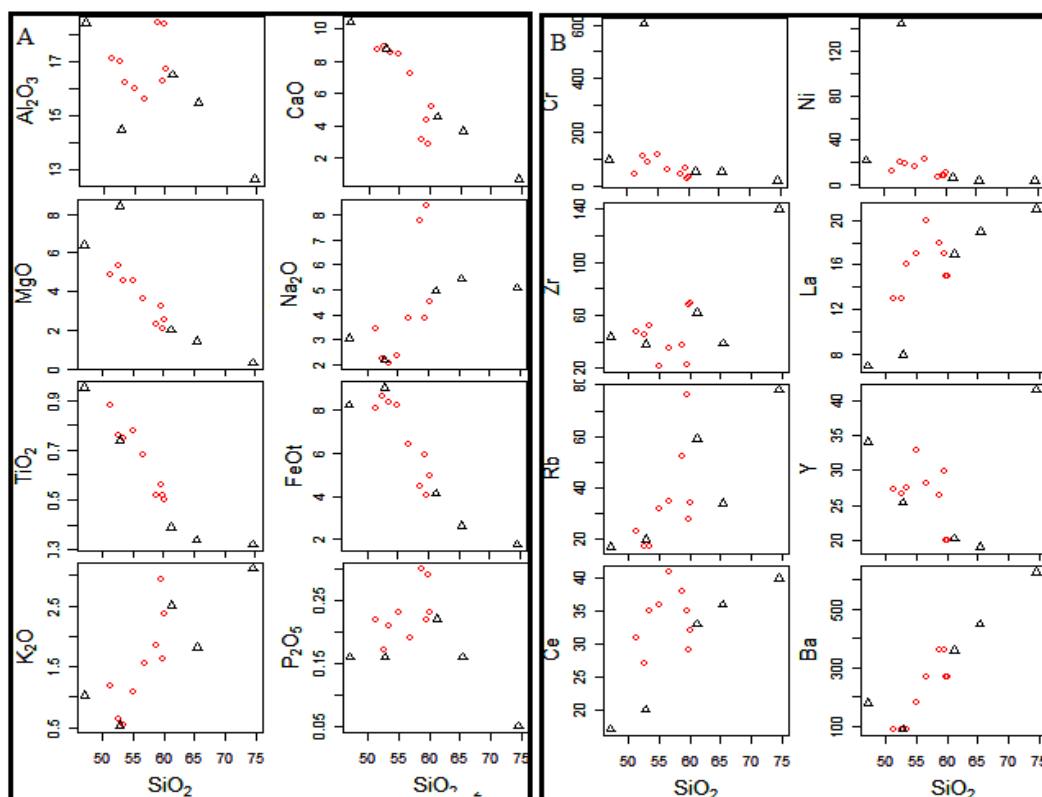
پراکندگی‌هایی که در روند برخی اکسیدها نسبت به  $\text{SiO}_2$  دیده می‌شود به دلایل گوناگونی است که در مجموعه آذرین نخیلاب، مهم‌ترین آن، تاثیر دگرسانی گرمابی و برخورد آب‌های گرمابی و جوی با این سنگ‌ها است. اکسیدهای  $\text{CaO}$ ,  $\text{MgO}$ ,  $\text{Fe}_2\text{O}_3$ ,  $\text{TiO}_2$  در کانی‌های پیروکسن، هورنبلند و تیتانومگنتیت متمرکز شده، در همان آغاز تبلور از مagma جدا می‌شوند، در نتیجه با پیشرفت تبلور ماغما باقیمانده سنگ‌های تشکیل شده در مراحل بعدی از این عناصر تهی تر می‌شوند. روند کاهشی  $\text{CaO}$  با افزایش  $\text{SiO}_2$  را می‌توان مرتبط با تشکیل پلاژیوکلازهای کلسیم‌دار و کلینوپیروکسن در آغاز و پلاژیوکلازهای سدیم‌دار،

ژئوشیمی عناصر اصلی: نمودار مقادیر اکسیدهای  $\text{CaO}$ ,  $\text{MgO}$ ,  $\text{Fe}_2\text{O}_3$ ,  $\text{P}_2\text{O}_5$ ,  $\text{TiO}_2$  آذرین درونی و بیرونی مجموعه آذرین نخیلاب تقریباً با افزایش سیلیس کاهش می‌یابد و بر عکس، مقدار  $\text{K}_2\text{O}$  و  $\text{Na}_2\text{O}$  آنها افزایش نشان می‌دهد (شکل ۷-۷). این روندها با تشکیل این سنگ‌ها از یک مagma بازیک از طریق تفرقی مagma سازگار است. از نظر ژئوشیمی عناصر اصلی  $\text{Na}_2\text{O}$  و  $\text{K}_2\text{O}$  که هر دو جزو عناصر ناسازگار هستند با افزایش سیلیس روندی افزایشی دارند. این نشان می‌دهد که در مراحل پایانی تبلور، این دو اکسید در گدازه سیلیکاتی بیشتر شده و در نهایت باعث ایجاد فلدسپارهای اسیدی‌تر شده‌اند.

وارونهای با مقدار  $\text{SiO}_2$  نشان می‌دهد. بنابراین با افزایش میزان  $\text{SiO}_2$  در ماقما، اکسیدهای آهن روندی کاهشی نشان می‌دهند. آهن در طول جدایش در کانی‌های مافیک مانند پیروکسن، آمفیبول و بیوتیت جای می‌گیرد. نکته‌ای که نیاز به یادآوری دارد افزایش برخی عناصر مانند Al و P در ترم‌های حدوداً نسبت به ترم‌های بازیک و اسیدی است که وجود آپاتیت و آمفیبول فراوان در این سنگ‌ها را توجیه می‌کند.

هورنبلند و بیوتیت در پایان از ماقما دانست که طی آن با تبلور پلازیوکلازهای کلسیک و دیگر کانی‌های کلسیم‌دار در مراحل اولیه تبلور میزان کلسیم ماقما رو به کاهش گذاشته است (Wilson, 1989).

روندهای کاهشی  $\text{MgO}$  نیز با افزایش سیلیسی می‌تواند نشانه تبلور الیوین و پیروکسن در مراحل آغازین تبلور ماقما باشد (Morata and Aguirre, 2003). اکسیدهای آهن نیز به علت جدایش مگنتیت و کانی‌های آهن‌دار در مراحل اولیه رابطه



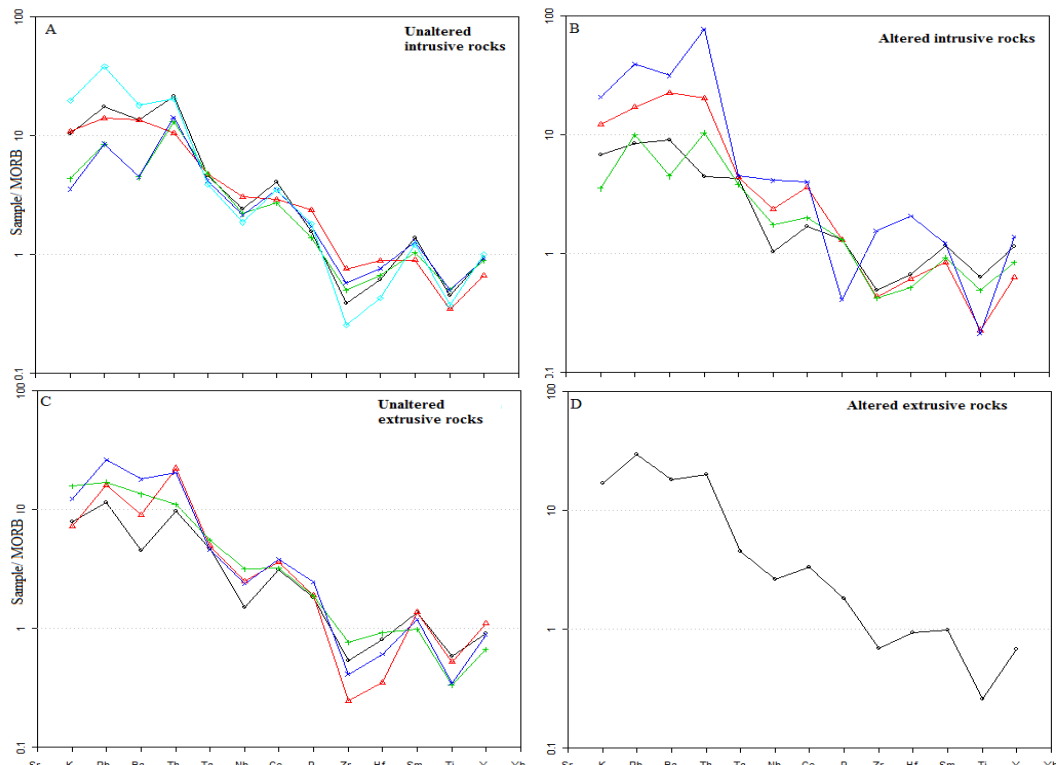
شکل ۷- ترکیب مجموعه آذرین نخیلاب (شمال باختر زاهدان) در نمودارهای تغییرات  $\text{SiO}_2$  در برابر: (A) اکسیدهای عناصر اصلی؛ (B) عناصر فرعی (مثلث: سنگ‌های بیرونی؛ دایره: سنگ‌های درونی).

این روندها ممکن است با تفریق و تبلور سنگ‌های مجموعه آذرین نخیلاب از یک ماقما دلالت داشته باشد. Rb جزو عناصر لیتوفیل بزرگ یون (LILE) و ناسازگار است لذا با افزایش تفریق، میزان آن افزایش می‌یابد. باریم در شبکه سیلیکات‌های حرارت بالا ناپایدار است، بنابراین، بر اساس

**ژئوشیمی عناصر خاکی نادر و کمیاب:** بررسی تغییرات عناصر خاکی نادر و کمیاب با افزایش اکسید سیلیسیم در مجموعه آذرین نخیلاب نشان می‌دهد که عناصری مانند Cr, Ni, La, Ce, Rb, Ba و Y روندی افزایشی دارند و عناصر Ce, La, Rb و Ce دارای یک روند نزولی و پراکنده هستند (شکل ۷- B).

نمودارهای عنکبوتی سنگ‌های آذرین درونی نادگرسان و دگرسان شbahت زیادی به هم دارند (شکل‌های A-۸ و B). در همه سنگ‌ها مقدار LILE نسبت به مقدار HFSE بیشتر است. عناصری مانند Zr، Th و Hf در برخی از سنگ‌های نفوذی دگرسان شده نسبت به سنگ‌های نفوذی نادگرسان غنی‌شدگی بیشتری دارند. اینها عناصری هستند که در سیستم‌های گرمابی تحرک کمی دارند و از این‌رو، درصد نسبی مقادیرشان در سنگ‌های دگرسان شده افزایش یافته است. الگوی نمودار عنکبوتی این سنگ‌های آذرین بیرونی شباهت بسیاری به الگوی سنگ‌های آذرین درونی دارد و تفاوت چندانی از نظر غنی‌شدگی و تهی‌شدگی با هم ندارند. این پدیده نشان‌دهنده خاستگاه مشترک آنها است (شکل‌های C-۸ و D-۸).

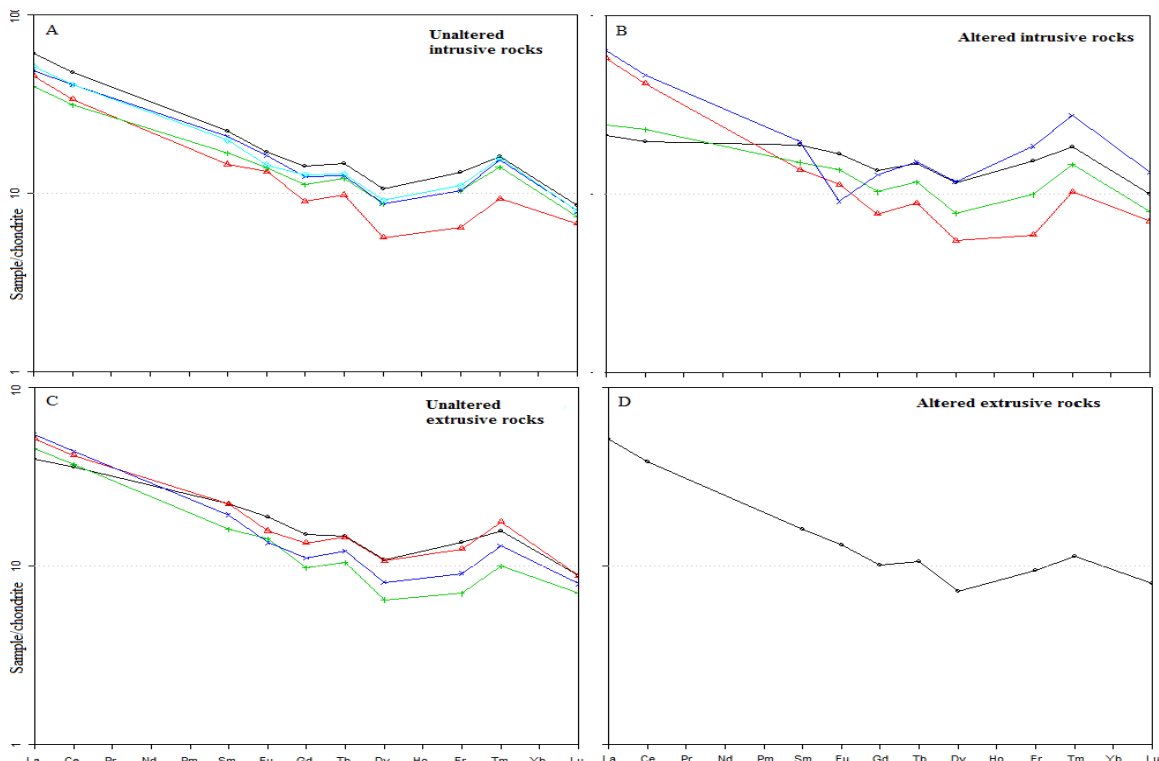
Vincent و Gourgaud (۲۰۰۳)، مقادیر آن با افزایش روند تفریق در مایع باقیمانده افزایش یافته و همراه با پتانسیم وارد شبکه سیلیکات‌های اخیر شده است. تغییر باریم در مجموعه آذرین نخیلاب نیز به همین سبک است. روند تغییرات عناصر Ni و Cr به صورت پراکنده و نزولی است. علت آن جانشینی عنصر  $\text{Fe}^{3+}$  است که با کاهش مقدار مگنتیت و پیروکسن در روند جدایش، کاهش آنها را می‌توان توجیه کرد. هنگام تفریق ماقمایی، Y نیز با افزایش روند تفریق کاهش یافته که بیانگر مصرف آن در ساختار کانی‌های آهن-منیزیم‌دار Aoki and Fujimaki, 1982; Rivalenti *et al.*, 1998 Hf، عناصر Ti، Zr و Y نسبت به مورب تهی‌شدگی نشان‌می‌دهند. بیشتر عناصر دیگر از استرانسیم تا فسفر نسبت به مورب غنی‌شدگی نشان می‌دهند.



شکل ۸- ترکیب شیمیایی سنگ‌های مجموعه آذرین نخیلاب (شمال باختر زاهدان) در نمودارهای عنکبوتی به‌هنجار شده به داده‌های مورب (Pearce ۱۹۸۳) برای: (A) سنگ‌های آذرین درونی نادگرسان؛ (B) سنگ‌های آذرین درونی دگرسان؛ (C) سنگ‌های آذرین بیرونی نادگرسان؛ (D) سنگ‌های آذرین بیرونی دگرسان.

زیرا آمفیبیول و پیروکسن دارای آنومالی منفی Eu و پلازیوکلاز دارای آنومالی مثبت Eu است (Martin, 1999). غنی‌شدنگی LREE در نمونه‌های مجموعه آذرین نخیلاب، ممکن است بر اثر تفریق ماقمایی ایجاد شده باشد. عامل دیگری که LREE موجب غنی‌شدنگی سنگ‌های یک ناحیه از فرورانش تشکیل شده باشد (Winter, 2001). هرچند این غنی‌شدنگی در مقایسه با دیگر سنگ‌های آذرین ایران که در ارتباط با فرورانش تشکیل شده‌اند کمتر است (Kamali *et al.*, 2011). الگوهای REE نشان داده شده در شکل ۹ برای نمونه‌های نادگرسان نسبت به نمونه‌های دگرسان شباهت بیشتری دارند. این شباهت ممکن است بیانگر تشکیل آنها از یک ماقمای مشترک باشد.

الگوی REE برای بیشتر سنگ‌های مجموعه آذرین نخیلاب مشابه است (شکل ۹) و دلیل رفتار متفاوت برخی عناصر در تعدادی از نمونه‌ها ممکن است به علت تاثیر دگرسانی یا خطا در تجزیه باشد. در بیشتر نمونه‌ها از La تا Gd شیب منحنی‌ها تندر است، در Tb یک آنومالی مثبت دیده می‌شود و عناصر دیگر به صورت زیگزاگی کاهش پیدا کردند. عناصر REE در همه نمونه‌های مجموعه آذرین نخیلاب نسبت به مقادیرشان در ترکیب کندریت‌ها غنی‌شدنگی نشان می‌دهند و مقدار غنی‌شدنگی LREE نسبت به HREE بسیار بیشتر است. نبود آنومالی Eu می‌تواند با بالا بودن فوگاسیته اکسیژن در محیط تشکیل سنگ‌های مجموعه آذرین نخیلاب مرتبط باشد، از سوی دیگر، تبلور همزمان کلینوپیروکسن و پلازیوکلاز در سنگ‌های بازیک و آندزیتی می‌تواند موجب حذف آنومالی Eu شود.

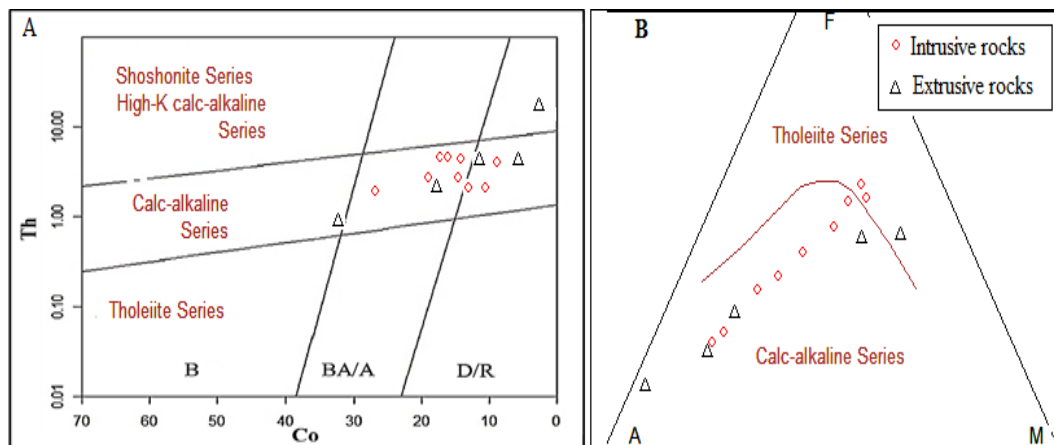


شکل ۹- ترکیب شیمیایی سنگ‌های مجموعه آذرین نخیلاب (شمال‌باخت زاهدان) در نمودار عناصر نادر خاکی بهنجار شده نسبت به ترکیب کندریت Nakamura (۱۹۷۴): (A) سنگ‌های آذرین نادگرسان؛ (B) سنگ‌های آذرین درونی دگرسان؛ (C) سنگ‌های آذرین بیرونی نادگرسان؛ (D) سنگ‌های آذرین بیرونی دگرسان.

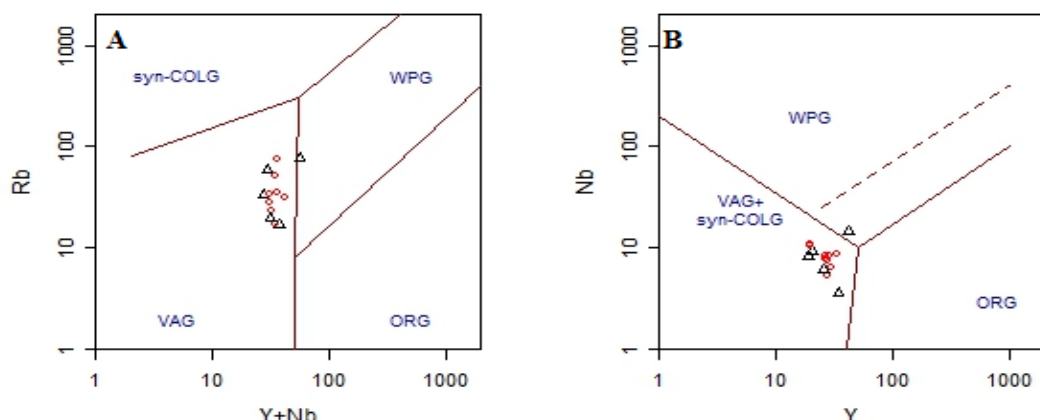
در سری کالک‌آلکالن جای می‌گیرند (شکل ۱۰). سنگ‌های کالک‌آلکالن از مهم‌ترین نشانه‌های فرورانش هستند (Wilson, 1989). نسبت بالای LILE به HFSE، تهی شدگی Ti و Nb و نسبت بالای LREE به HREE سنگ‌های مجموعه آذرین نخیلاب نیز از نظر ژئوشیمیایی از ویژگی‌های ماغماهای کالک‌آلکالن مرتبط با کمان‌های آتشفسانی است و در ارتباط با متاسوماتیسم و تاثیر فرورانش بر گوشته شناخته می‌شود (Harris *et al.*, 1983; Soesoo, 2000) (شکل ۱۱، بیشتر نمونه‌های مجموعه آذرین نخیلاب مربوط به جایگاه‌های کمان آتشفسانی هستند).

## بحث

سنگ‌های آذرین در مجموعه آذرین نخیلاب از نظر عمق تشکیل و ترکیب شیمیایی متنوع بوده به‌گونه‌ای که شامل انواع سنگ‌های آذرین بازیک تا اسیدی نفوذی، آذرین نیمه‌بیرونی و بیرونی می‌شوند. Griffis و Camp (۱۹۸۲) خاستگاه و جایگاه مجموعه آذرین نخیلاب را ناشناخته گزارش کرده‌اند. اگرچه سنگ‌های آذرین بیرونی و درونی نخیلاب از نظر ترکیب شیمیایی، عمق و سن متفاوت هستند اما ویژگی‌های ژئوشیمیایی آنها مشابه و بیانگر تشکیل آنها در پهنه‌های فرورانش است به‌گونه‌ای که بیشتر سنگ‌های مجموعه آذرین نخیلاب



شکل ۱۰- تعیین سری مگمایی مجموعه آذرین نخیلاب (شمال باختر زاهدان). A) با استفاده از نمودار Hastie و همکاران (۲۰۰۷)؛ B) با استفاده از نمودار Irvine و Baragar از AFM (۱۹۷۱).

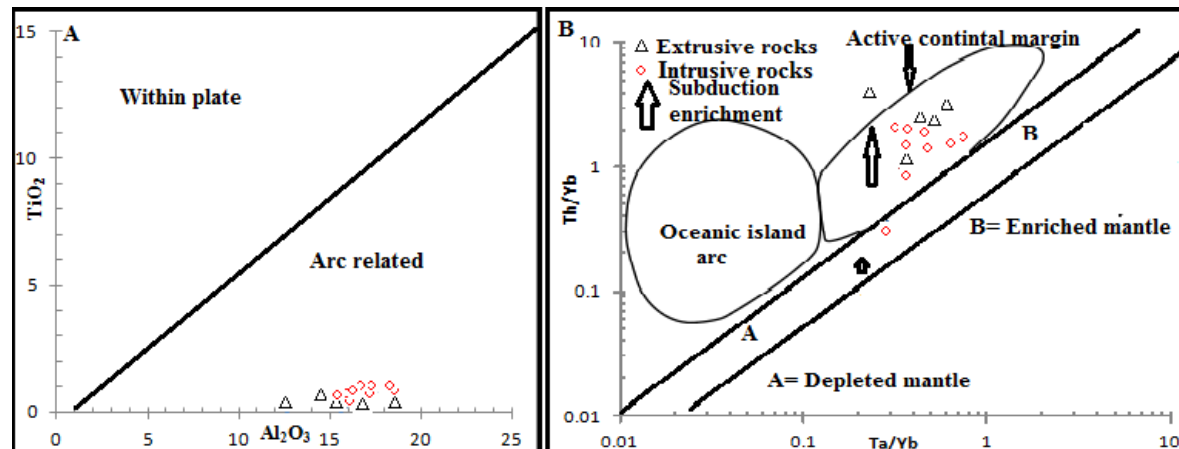


شکل ۱۱- تعیین جایگاه زمین‌ساختی مجموعه آذرین نخیلاب (شمال باختر زاهدان). A) نمودار Rb در برابر Y+Nb (Pearce و همکاران ۱۹۸۴) (مثلث: سنگ‌های آذرین بیرونی؛ دایره: سنگ‌های آذرین درونی).

داشته است و آندزی بازالت، آندزیت، داسیت و ریولیت و معادلهای درونی آن به احتمال زیاد دارای خاستگاه ماقمای بازالتی یکسانی هستند. هرچند شواهد سنگنگاری و ژئوشیمی نشان‌دهنده نقش ویرژ تبلور تفریقی نسبت به ذوببخشی یا اختلاط ماقمایی است اما فراوانی بیشتر آندزیت و دیوریت نسبت به دیگر سنگ‌ها ممکن است بیانگر اختلاط ماقمای بازیک با ماقمایی اسیدی و یا آلودگی با مواد پوسته قاره‌ای نیز باشد (Wilson, 1989). زنولیت‌ها و شواهد بافتی مانند منطقه‌بندی در پلازیوکلازها، خوردگی در حاشیه بلورهایی مانند پلازیوکلاز و کوارتز می‌توانند مربوط به نقش اختلاط ماقمایی باشد (Hibbard, 1981; Vernon, 2004).

بر اساس شکل ۱۲، نمونه‌های مجموعه آذرین نخیلاب در محدوده ترکیبی سنگ‌های مرتبه با کمان و حاشیه قاره هستند. فراوان‌ترین سنگ‌ها در مجموعه آذرین نخیلاب آندزیت، داسیت و دیوریت پورفیری هستند. این مجموعه سنگ بیشتر در پهنه‌های فرورانش حاشیه قاره یافت می‌شوند (Wilson, 1989). بررسی‌های جدید نشان می‌دهد که سنگ‌های کالک‌آلکالن در بلوك‌لوت که دارای ویژگی‌های سنگ‌های پهنه‌های فرورانش هستند فراوان هستند (Malekzade Malekzade, 2011).

با توجه به شکل ۷، تفرق در تنوع سنگ‌شناختی از ترم‌های بازیک به سمت ترم‌های اسیدی در مجموعه آذرین نخیلاب نقش مهمی



شکل ۱۲- نمودارهای تفکیک محیط زمین‌ساختی برای مجموعه آذرین نخیلاب (شمال باختر زاهدان). A) نمودار Muller و همکاران (۱۹۹۷)؛ B) نمودار Pearce (۱۹۸۳).

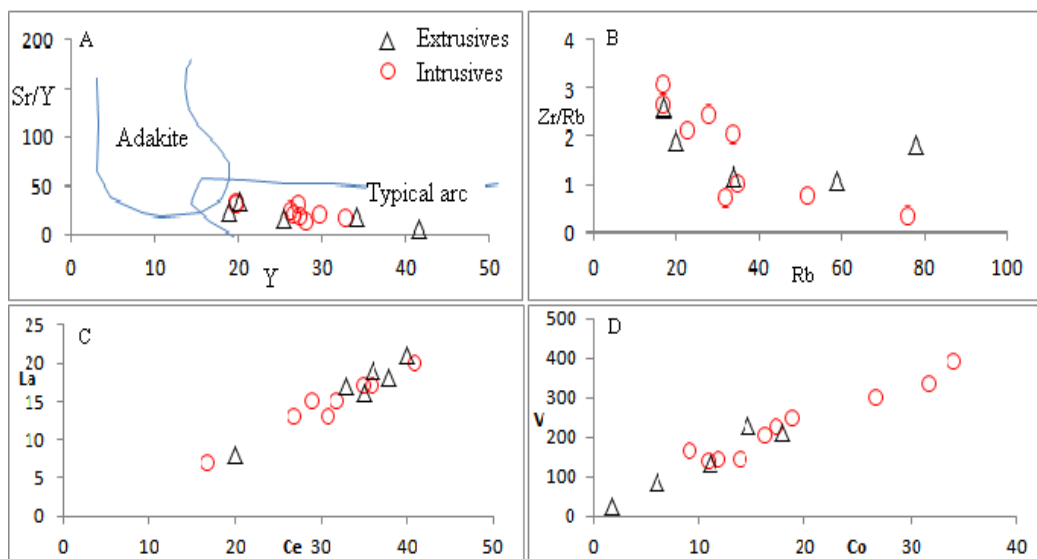
شده بر اثر برخورد دو بلوك قاره‌ای لوت و سیستان تشکیل شده‌اند (Mohammadi *et al.*, 2011). به هر حال ژئوشیمی مجموعه آذرین نخیلاب شباهت چندانی با ژئوشیمی این آدکیت‌ها ندارد و بر اساس نمودار Sr/Y در برابر Y، بیشتر نمونه‌های مورد مطالعه در محدوده کمان‌های شاخص و معمول جای دارند (شکل ۱۳- A). برای تشکیل دیوریت‌ها و آندزیت‌ها، Altherr و همکاران

سنگ‌های آتشفسانی اوسن در حاشیه شمال باختری پهنه درزه سیستان که در شمال مجموعه آذرین نخیلاب واقع هستند از آدکیت‌های نوع C هستند (Mohammadi *et al.*, 2011). هرچند آدکیت‌ها نیز از ذوببخشی پوسته اقیانوسی جوان و گرم در پهنه فرورانش ایجاد می‌شوند اما آدکیت‌های نوع C این منطقه از ذوببخشی پوسته زیرین ضخیم

غنى‌سازی شده، در هنگام صعود با مواد پوسته‌ای آلايش یافته و ماغمايی ايجاد می‌کنند که می‌توانند والد سنگ‌های حد واسط باشد. به عبارت دیگر، همان فرایيند آلايش توسيط مواد پوسته‌ای قاره‌ای در هنگام صعود ماغما که به فرایيند AFC معروف است. برای ميزان آغشتگی ماغما با مواد پوسته‌ای از نمودار Zr/Rb در برابر Rb استفاده شد (Chappell and White, 1974). روند نزولی در اين نمودار بیانگر مشارکت فرایيند آغشتگی پوسته‌ای و آلايش ماغمايی است (شکل ۱۳- B). همچنین، برای بررسی نقش تبلور تفريقي و هضم یا آلايش ماغمايی ماغماي سازنده مجموعه آذرین نخیلاب، از نمودار تغييرات عناصر ناسازگار در برابر ناسازگار (Ce-La) (شکل ۱۳- C) و عناصر سازگار در برابر سازگار (Co-V) (شکل ۱۳- D) استفاده شده است.

(۲۰۰۰) سه پيشنهاد داده‌اند: ۱- ذوب‌بخشی بدون آب پوسته اقیانوسی فرورانده شده، ۲- ذوب گوه گوشته‌ای متاسوماتیزم شده در بالای صفحه فرورانش، ۳- ذوب‌بخشی سنگ‌های پوسته پایینی بر اثر نفوذ ماغماهای بسیار گرم گوشته‌ای.

برای سنگ‌های كالک‌آلکالن حد واسط که متعلق به کمان‌های آتشفسانی هستند (مثل مجموعه آذرین نخیلاب)، Ferre و همکاران (۱۹۹۸) بر این باور هستند که ماغماي اوليه چنین سنگ‌هایی، يك مذاب بازالتی بوده که از طريق ذوب‌بخشی گوشته‌ای ليتوسفر غني‌شده در بالاي يك پهنه فرورانش و با آب زدياي پوسته اقیانوسی دگرسان فرورونده تشکيل می‌شود. در رژيم کمان قاره‌ای، مذاب‌های گوشته‌ای والد که پيش تر توسط سیال‌ها و یا مذاب‌های حاصل از صفحه فرورونده



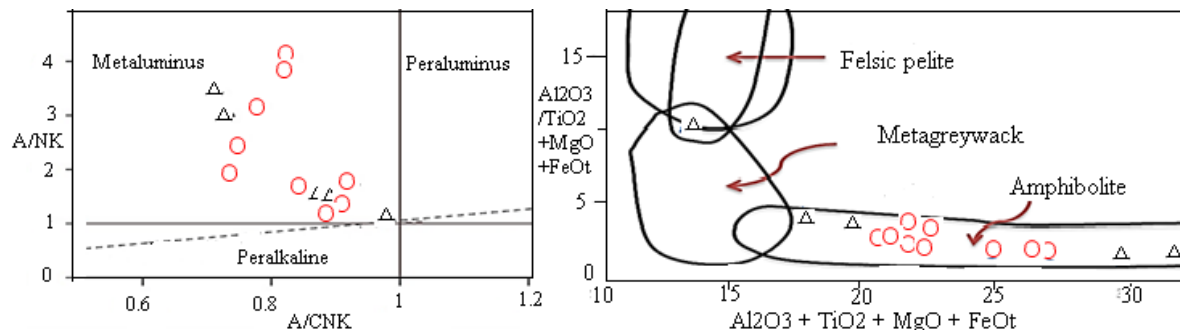
شکل ۱۳- ترکیب سنگ‌های آذرین مجموعه نخیلاب (شمال باختر زاهدان). (A) نمودار Defant و Drummond (۱۹۹۰) برای تمایز آداکیت‌ها از سنگ‌های محیط‌های کمانی؛ (B) در نمودار De Paolo (۱۹۸۱) روند نزولی نمونه‌های مجموعه آذرین نخیلاب بیانگر تاثیر آغشتگی پوسته‌ای ماغماست. نمودارهای C و D نشان‌دهنده فرآیند تبلور تفريقي همراه با هضم برای مجموعه نخیلاب است.

(Rogers and Hawkesworth, 1984). اين نمودارها نيز نشان مي‌دهند که در تشکيل مجموعه آذرین نخیلاب فرآيندهای هضم و آلايش پوسته‌اي نقش مهمی داشته‌اند. همراه دبوريت و آندزيت‌ها، گابرو و بازالت،

اگر ارتباط بين اين عناصر خطی و مثبت باشد در اين صورت فرایيند اصلی ارتباط‌دهنده اين سنگ‌ها تبلور تفريقي همراه با آلايش ماغمايی است، در غير اين صورت فرایيند اصلی ارتباط‌دهنده اين سنگ‌ها ذوب‌بخشی است

ذوببخشی منابع غنی از هورنبلند تشکیل می‌شوند (Whitney, 1989). نمودار Magna و همکاران (۲۰۱۰) برای تعیین خاستگاه سنگ استفاده می‌شود و دارای محدوده‌های مذاب‌های پلیتی، مذاب‌های حاصل از ذوب گری و ک و مذاب‌های حاصل از ذوب آمفیبولیت است. بر اساس این نمودار، نمونه‌های مورد مطالعه بیشتر در محدوده ماقماهای حاصل از ذوب آمفیبولیت جای گرفته‌اند (شکل ۱۴ -B). ماقماهای حاصل از چنین سنگ‌هایی همانند ماقماهایی هستند که از ذوب پوسته اقیانوسی هنگام فرورانش و یا از ذوب سنگ‌های آذرین مافیک حاصل شده‌اند.

گرانودیوریت، سنگ‌های اسیدی مثل ریولیت و داسیت و حتی ایگنیمبریت نیز در منطقه وجود دارند. هرچند حجم درخور توجهی ندارند اما این احتمال که اینها از فرایند AFC به وجود آمده باشند را تایید می‌کنند (یعنی از طریق تفریق و آغشتگی یک ماقمای مادر بازالتی). فراوانی کم Sr, Ti, P با ویژگی‌های ژئوشیمیایی ماقماهای پوسته‌ای نیز همخوانی دارد. درجه اشباع از آلومین در سنگ‌ها نشانه ماهیت مواد خاستگاه آن است. برای تعیین این عامل از نمودار Shand (۱۹۴۳) استفاده شده است. بر اساس شکل ۱۴ - A مجموعه آذرین نخیلاب متآلومینوس از ماقماهای متآلومینوس است. ماقماهای متآلومینوس از



شکل ۱۴ - ترکیب نمونه‌های آذرین نخیلاب (شمال باختر زاهدان) در: (A) نمودار Shand (۱۹۴۳) که در محدوده متآلومینوس می‌گیرند؛ (B) نمودار Magna و همکاران (۲۰۱۰) در محدوده سنگ مادر با خاستگاه آمفیبولیت جای می‌گیرند.

ئوتیس) از سمت بلوك سیستان به سمت بلوك لوت توجیه کرد. در غیر این صورت، فرورانش اقیانوس مکران (ئوتیس) به زیر بلوك لوت و بلوك سیستان را باید به عنوان یک فرضیه جدید برای تشکیل سنگ‌های آذرین کالک‌آلکان، هم در بلوك لوت و هم در پهنه درزه سیستان، معروفی کرد. گسل نهیندان نیز در جایگیری مجموعه آذرین نخیلاب نقش داشته است.

### نتیجه‌گیری

سنگ‌های مجموعه آذرین نخیلاب را می‌توان به دو گروه آذرین بیرونی و درونی، شامل آندزیت، بازالت، آندزی بازالت، ریولیت، دیوریت، گرانودیوریت و گابرو هستند. بر اساس بررسی‌های صحرایی، بخش بزرگی از

با در نظر گرفتن سن سنگ‌های آذرین بیرونی در مجموعه آذرین نخیلاب که کرتاسه بالایی-ائوسن هستند به نظر می‌رسد که این سنگ‌ها نشانه‌هایی از فرورانش و بسته شدن شاخه‌های فرعی ئوتیس باشند. تشکیل این سنگ‌ها در این بازه سنی و در پهنه درزه سیستان را به فرورانشی از سمت بلوك لوت به سمت بلوك سیستان نسبت می‌دهند (Camp and Griffis, 1982). بر عکس، تشکیل سنگ‌های آذرین پالئوسن و ائوسن در بلوك لوت را به فرورانشی از سمت بلوك سیستان به سمت بلوك لوت نسبت داده‌اند (Aghanabati, 2004). تشکیل سنگ‌های آذرین بیرونی در مجموعه آذرین نخیلاب را می‌توان بر اساس نظر دوم، یعنی فرورانش اقیانوس خاور ایران (شاخه‌ای از

بلوک سیستان به زیر بلوک لوت و یا فرورانش اقیانوس مکران به زیر بلوک لوت و پهنه درزه سیستان فرضیه‌های مناسبی برای جایگاه زمین ساختی مجموعه آذربین نخیلاب هستند.

خاستگاه مجموعه آذربین نخیلاب یک ماقمای بازالتی است که بر اثر فرایند هضم و تبلور تفریقی از ذوب پوسته اقیانوسی فرورونده و گوشه بالای آن به وجود آمده است.

### سپاس‌گزاری

این مقاله با حمایت مالی معاونت پژوهشی و همکاری گروه زمین‌شناسی دانشگاه سیستان و بلوچستان انجام شده است. به این وسیله از همه مسئولان و کارکنان آنها، کمال تشکر و سپاس‌گزاری به عمل می‌آید.

سنگ‌های آذربین بیرونی آندزیت و داسیت هستند و بخش بزرگی از سنگ‌های نفوذی نیز دیوریت و گرانودیوریت با بافت پورفیری هستند.

توده‌های نفوذی به صورت استوک پورفیری و نیمه ژرف بوده که در بخش مرکزی منطقه نفوذ کرده، باعث دگرسانی و کانی‌زایی مس و طلا شدند.

سنگ‌های مجموعه آذربین نخیلاب متألومینوس بوده، بیشتر متعلق به سری ماقمایی کالک‌آلکالن هستند.

بر اساس مطالعات ژئوشیمیایی و نمودارهای مختلف، مجموعه آذربین نخیلاب در جایگاه زمین ساختی کمان آتشفسانی شکل گرفته است.

سنگ‌های آذربین در مجموعه آذربین نخیلاب دارای مقادیر بالاتر LREE و HREE در مقایسه با HFSE هستند که از ویژگی‌های ماقماییسم پهنه فرورانش است. فرورانش دریای خاور ایران از سمت

### منابع

- Aghanabati, A. (2004) Iran geology. Geological Survey of Iran, Tehran (in Persian).
- Altherr, R., Holl, A., Hegner, E., Langer, C. and Kreuzer, H. (2000) High-potassium, calcalkaline, I-type plutonism in the European Variscides: northern Vosges (France) and northern Schwarzwald (Germany). *Lithos* 50: 51-73.
- Aoki, K. and Fujimaki, H. (1982) Petrology and geochemistry of calc-alkaline andesite of presumed upper mantle origin from Itinome-Gata, Japan. *American Mineralogist* 67: 1-13.
- Babakhani, A. R., Kholghi, M. H. and Zadehkabir, H. (1988) Nakhilab Geological Quadrangle Map 1:250000, Geological Survey of Iran, Tehran.
- Berberian, M. (1976) Quarternary faults in Iran: contribution to the seismotectonic of Iran (part 11), Geological Survey of Iran, Tehran.
- Berberian, M. and King, G. C. P. (1981) Towards a Paleogeography and tectonic evolution of Iran. *Canadian Journal of Earth Sciences* 18: 210-265.
- Camp, V. E. and Griffis, R. J. (1982) Character, genesis and tectonic setting of igneous rocks in the Sistan suture zone, eastern Iran. *Lithos* 3: 221-329.
- Chappell, B. W. and White, A. J. R. (1974) Two contrasting granite types. *Pacific Geology* 8: 173-174.
- Cox, K. G., Bell, J. D. and Pankhurst, R. J. (1979) The interpretation of igneous rocks. Allen and Unwin, London.
- Defant, M. J. and Drummond, M. S. (1990) Derivation of some modern arc magmas by melting of young subducted lithosphere. *Nature* 347: 662-665.

- De Paolo, D. J. (1981) Trace element and isotopic effects of combined wall-rock assimilation and fractional crystallization. *Earth Planetary Science Letters* 53: 189-202.
- Emami, M. H. (2000) Magmatism in Iran. Geological Survey of Iran, Tehran (in Persian).
- Ferre, E. C., Caby, C., Peucat, J. J., Capdevila, R. and P. Monie. (1998) Pan-African, post collisional, ferropotassic granite and quartz monzonite plutons of Eastern Nigeria. *Lithos* 45: 255-279.
- Gourgaud, A. and Vincent, P. M. (2003) Petrology of two continental alkaline intraplate series at Emi Koussi volcano, Tibesti, Chad. *Journal of Volcanology and Geothermal Research* 129: 261-290.
- Hastie, A. R., Kerr, A. C., Pearce, J. A. and Mitchell, S. F. (2007) Classification of altered volcanic island arc rocks using immobile trace elements: development of the Th-Co discrimination diagram. *Journal of Petrology* 48: 2341-2357.
- Harris, N. B. W., Duyverman, H. J. and Almand, D. C. (1983) The trace element and isotope geochemistry of the Sabaloka Igneous Complex, Sudan. *Journal of Geology Society* 140: 245- 256.
- Hedayati, N. (2015) Petrography and geochemistry of igneous rocks in Nakhilab area, Northwest of Zahedan with special view to genesis of Au and Cu mineralization. MSc thesis, University of Sistan and Baluchestan, Zahedan, Iran (in Persian)
- Hezareh, M. H. (2004) Geochemical exploration report of Nakhilab geochemical map 1:250000. Geological Survey of Iran, Tehran (in Persian).
- Hibbard N. J. (1981) The magma mixing origin of mantled feldspars. *Contributions to Mineralogy and Petrology* 76: 158-170.
- Irvine, T. N. and Baragar, W. R. A. (1971) A guide to chemical classification of the common volcanic rocks. *Canadian Journal of Earth Sciences* 8: 523-548.
- Kamali, A. A., Moayyed, M., Jahangiri, A., Amel, N., Pirooj, H. and Ameri, A. (2011) The petrography and geochemistry of volcanic rocks of Ghaflankuh, Myaneh (NW Iran). *Petrology* 2(6): 97-115 (in Persian).
- Magna, T., Janousek, V., Kohot, M., Oberli, F. and Wiechert, U. (2010) Fingerprinting sources of orogenic plutonic rocks from Variscan belt with lithium isotopes and possible link to subduction- related origin of some A-type granites. *Chemical Geology* 274: 94-107.
- Malekzadeh Shafarudi, A. and Karimpour, M. H. (2011) Zircon dating by U-Pb method in Maherabad porphyry Cu-Au explorational area. *Journal of Economic geology* 1(3): 41-60 (in Persian).
- Martin, H. (1999) Adakitic magmas: modern analogues of Archaean granitoids. *Lithos* 46: 411-429.
- Mohammadi, S. S., Zarrinkub, M. H. and Keramati, F. (2011) The geochemistry and petrogenesis of Hossein abad Tertiary volcanic rocks (southwest of Birjand, East of Iran. *Petrology* 2(6): 83-96 (in Persian).
- Morata, D. and Aguirre, L. (2003) Extensional lower Cretaceous volcanism in the Coastal Range (29°20'- 30°S), Chile: geochemistry and petrogenesis. *Journal of South American Earth Sciences* 16: 459-476
- Muller, D., Rock, N. M. S. and Groves, D. I. (1997) Geochemical discrimination between shoshnitic potassic volcanic rocks from different tectonic setting: a pilot study. *Mineralogy and Petrology* 259-287.
- Nakamura, N. (1974) Dedetermination of REE, Ba, Fe, Mg, Na and K in carbonaceous and ordinary chondrites. *Geochimica et Cosmochimica Acta* 38: 757-775.
- Nelson, S. T. and Montana, A. (1992) Sieve-textured plagioclase in volcanic rocks produced by rapid decompression. *American Mineralogist* 77: 1242-1249.
- Pearce J. A. (1983) Role of the sub-continental lithosphere in magma genesis at active continental margins. In: *Continental basalts and mantle xenoliths* (Eds. Hawkesworth, C. J. and Norry, M. J.), 230-

249. Shiva Publications, Nantwich, Cheshire.
- Pearce, J. A., Harris, B. W. and Ttindle, A. G. (1984) Trace element of discriminant diagrams for the tectonic interpretation of granitic rocks. *Journal of Petrology* 25: 956-983.
- Vernon, R. H. (2004) A practical guide to rock microstructure. Cambridge University Press, Cambridge.
- Rivalenti, G., Mazzucchelli, M. Vicente, A., Girardi, V., Cavazzini, G., Finatti, C. M. A., Barbieri, M. A. and Wilson, T. (1998) Petrogenesis of the Paleoproterozoic basalt-andesite-rhyolite dyke association in the Caraj as region, Amazonian craton. *Lithos* 43: 235- 265.
- Rogers, G. and Hawkeswort, C. J. (1984) A geochemical traverse across the north Chilean Andes: evidence for crust generation from mantle wedge. *Earth and planetary Science Letters* 91: 271-285.
- Shand, S. J. (1943) The eruptive rocks. 2<sup>nd</sup> edition, John Wiley and sons, New York.
- Soesoo, A. (2000) Fractional crystallization of mantle-derived melts as a mechanism for some I-type granite petrogenesis: an example from Lachlan Fold Belt, Australia. *Journal of Geology Society* 157: 135–149.
- Whitney, J. A. (1989) Origin and evolution of Silicic magmas. *Reviews in Economic Geology* 4: 183-203.
- Wilson, M. (1989) Igneous petrogenesis. Unwin Hyman, London.
- Winchester, J. A. and Floyd, P. A. (1977) Geochemical discrimination of different magma series and their differentior products using immobile elements. *Chemical Geology* 20: 325-343.
- Winter, J. D. (2001) An introduction to igneous and metamorphic petrology. Prentice Hall, Upper Saddle River, New Jersy.
- Yabelui, M. (2010) Identification of shear zones of Nehbandan area, (eastof Iran). MSc thesis, University of Sistan and Baluchestan, Zahedan, Iran (in Persian)
- Yavari, F. (2013) Study of Lithochemistry, mineralogy and alteration in Nakhilab Cu Anomaly, Northwest of Zahedan. MSc thesis, University of Sistan and Baluchestan, Zahedan, Iran (in Persian).



## Petrography and geochemical characteristics of Nakhilab igneous complex, northwest of Zahedan

Najme Hedayati, Mohammad Boomeri \* and Habib Biabangard

Department of Geology, Faculty of Sciences, University of Sistan and Baluchestan, Zahedan, Iran

### Abstract

Nakhilab igneous complex is located in 145 km northwest of Zahedan and is geologically situated between Lut block and the Sistan-suture zone. Rock units in the area range from Cretaceous to Quaternary and consist of sedimentary and igneous types. The igneous rocks occur as intrusive and extrusive in the Nakhilab. The extrusive rocks occur as lava and pyroclastic and consist of basalt, basaltic andesite, andesite and rhyolite. The intrusive rocks occur as stock and dyke and consist of gabbro, diorite and granodiorite. These rocks are porphyry and granular in texture. In these rocks, plagioclase, pyroxene, hornblende, biotite and quartz are the main minerals and apatite, sphene and magnetite are the accessory minerals. The intrusive rocks that were altered by hypogene and supergene processes are associated with Cu mineralization in the central part. The igneous rocks in the Nakhilab are metaluminous and calc-alkaline. Patterns of minor and rare earth elements normalized to MORB and Chondrite show that LREE and LILE contents are sharply higher than HREE and HFSE contents, respectively. Higher contents of LREE and LILE compared to HREE and HFSE, respectively, negative anomalies of Zr, Ti, P and positive anomalies of K, Rb, Sr, suggest that the study samples may belong to an active continental margin. The studied igneous rocks were probably solidified from a basaltic magma by AFC processes that derived from partial melting a subducting oceanic crust and it's above mantle wedge.

**Keywords:** Porphyry Cu, Calc-alkaline, Subduction, Nakhilab igneous complex, Zahedan, Sistan suture zone

\* boomeri@hamoon.usb.ac.ir

Copyright©2016, University of Isfahan. This is an Open Access article distributed under the terms of the Creative Commons Attribution License (<http://creativecommons.org/licenses/BY-NC-ND/4.0>), which permits others to download this work and share it with others as long as they credit it, but they cannot change it in any way or use it commercially.